

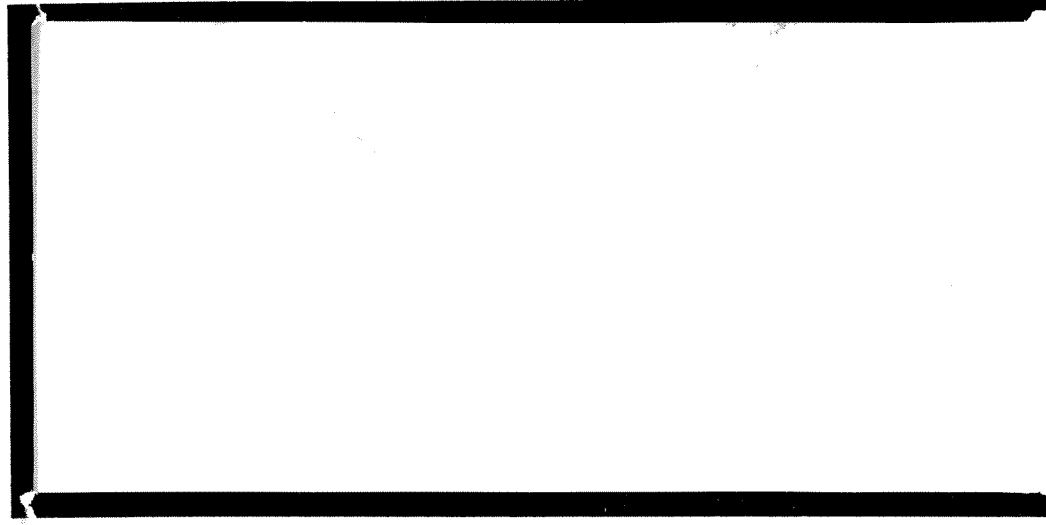
1997-14/13

D4P



TÜRKİYE BİLİMSEL VE  
TEKNİK ARAŞTIRMA KURUMU

THE SCIENTIFIC AND TECHNICAL  
RESEARCH COUNCIL OF TURKEY



Makina, Kimyasal Teknolojiler, Malzeme ve İmalat Sistemleri  
Araştırma Grubu

Mechanical Engineering, Chemical Technologies, Material  
Sciences and Manufacturing Systems Research Grant  
Committee

ROBOT DİNAMİĞİ LİNERİZASYON VE  
BASİTLEŞTİRME YÖNTEMLERİNİN GELİŞTİRİLMESİ  
VE İMAL EDİLMİŞ BİR ROBOTA UYGULANARAK  
İRDELENMESİ

PROJE NO : MODİSA - 4

DOÇ. DR. REŞİT SOYLU

DOÇ. DR. TUNA BALKAN

Y. MÜH. ALİ SARRAFİ

## **ÖNSÖZ**

Bu proje MODİSA 4 proje numarası ile TÜBİTAK tarafından desteklenmiştir.

# İÇİNDEKİLER

	<u>Sayfa No</u>
ÖNSÖZ .....	ii
TABLO LİSTELERİ .....	iv
ŞEKL LİSTELERİ .....	v
ÖZ .....	vi
ABSTRACT .....	vii
<b>BÖLÜM 1. GİRİŞ .....</b>	<b>1</b>
<b>BÖLÜM 2. HAREKET DENKLEMLERİNİN OTOMATİK OLARAK ELDE EDİLMESİ VE LİNEERİZASYONU .....</b>	<b>2</b>
2.1. Kinematik Notasyon .....	2
2.2. Lagrange Formülasyonu .....	4
2.3. Hareket Denklemleri .....	7
2.4. Lipkin-Duffy Terimlerinin Türevleri .....	10
2.5. Lineerlik Endeksi .....	18
<b>BÖLÜM 3. BENZETİM .....</b>	<b>24</b>
3.1. Robot Kollarda Denetim .....	24
3.2. Benzetim Yazılımı .....	26
<b>BÖLÜM 4. ODTÜ-ASELSAN ROBOTUNUN DİNAMİK PARAMETRELERİNİN DENEYSEL OLARAK BELİRLENMESİ ...</b>	<b>35</b>
4.1. Yöntem .....	35
4.2. Deney Düzenegi .....	39
<b>BÖLÜM 5. ODTÜ-ASELSAN ROBOTUNUN DİNAMİK PARAMETRELERİNİN BİR APARATLA DEĞİŞTİRİLMESİ .....</b>	<b>44</b>
<b>BÖLÜM 6. SONUÇ .....</b>	<b>46</b>
<b>BÖLÜM 7. KAYNAKÇA .....</b>	<b>48</b>
<b>EK 1. P, P*, Q, R, U, U*, V, W, X, X*, Y VE Z ELEMANLARININ TANIMLARI .....</b>	<b>50</b>
<b>EK 2. KİNETİK ENERJİ İFADELERİ .....</b>	<b>52</b>
<b>EK 3. HAREKET DENKLEMLERİ VE LİNEERLİK ENDEKSİ PROGRAMI KULLANIM KILAVUZU .....</b>	<b>55</b>
<b>EK 4. ODTÜ-ASELSAN ROBOTUNUN HAREKET DENKLEMLERİ .....</b>	<b>71</b>
<b>EK 5. BENZETİM PROGRAMI KULLANIM KILAVUZU .....</b>	<b>87</b>

## TABLO LİSTELERİ

	<u>Sayfa No</u>
Tablo 3.1. ODTÜ-ASELSAN Robotunun İlk Üç Uzunluk Dinamik Parametreleri .....	29

## ŞEKİL LİSTELERİ

	<u>Sayfa No</u>
Şekil 2.1. N Serbestlik Dereceli Manipülator .....	2
Şekil 2.2. İki Komşu Uzvu Bağlayan Yay .....	6
Şekil 2.3. Üç Döner Eklimli Düzlemsel Robot .....	21
Şekil 3.1. Modele Dayalı Robot Denetim Sistemi .....	24
Şekil 3.2. PD-Denetim Sistemi Uygulaması .....	25
Şekil 3.3. ODTÜ-ASELSAN Robotunun Kinematik Modeli .....	28
Şekil 3.4.a. Benzetim Sonuçları (Açısal Konumlar) .....	30
Şekil 3.4.b. Benzetim Sonuçları (Açısal Hızlar) .....	31
Şekil 3.4.c. Benzetim Sonuçları (Açısal İvmeler) .....	32
Şekil 3.5. PI-LE Grafiği .....	33
Şekil 4.1. Robot Kolun Bir Uzvu Üzerinde Lokal Koordinatların Gösterilmesi .....	36
Şekil 4.2. Dinamik Parametrelerin Tahmini İçin Hazırlanan Deney Düzenegi .....	39
Şekil 4.3.a. Motor Torqlarının Zamana Göre Değişimi (1. ve 2. Eksen) .....	41
Şekil 4.3.b. Motor Torqlarının Zamana Göre Değişimi (3. ve 4. Eksen) .....	42
Şekil 5.1. Uzuv ve Aparatın Şematik Gösterimi .....	44
Şekil 5.2. ODTÜ-ASELSAN Robotunun Değişirme Aparatı ile Fotoğrafi .....	45

## ÖZ

Bu projede bir robot kolun hareket denklemlerini sembolik olarak veren bir program geliştirilmiştir. Bu denklemler Lagrange eşitliği kullanılarak türetilmekte olup, gerekli bilgisayar zamanı robotun kinematikğinde ilk olarak Lipkin ve Duffy tarafından kullanılan bir notasyonu geliştirerek kullanmak suretiyle büyük ölçüde azaltılmıştır. Ayrıca, bir manipülatörün lineerliğini (veya nonlineerliğini) ölçülebilmek amacıyla Lineerlik Endeksi (LE) isimli yeni bir ölçüt tanımlanmıştır. Bu endeks robotun lineerlik derecesinin sayısal bir ölçütüdür. Lineerlik endeksi kavramını kullanarak tamamıyla (veya olabildiğince) lineer robotlar tasarlamak mümkündür.

Proje kapsamında ayrıca ODTÜ-ASELSAN robotunu simüle edebilmek için bir benzetim programı da geliştirilmiştir. Bu program kullanılarak Lineerlik Endeksi ile robotun lineer bir kontrol algoritmasının denetimi altındaki performans arasındaki ilişki incelenmiştir. ODTÜ-ASELSAN robotunun dinamik parametreleri deneysel olarak elde edilmeye çalışılmış ve son olarak da söz konusu robotun ikinci ve üçüncü uzuvlarının dinamik parametrelerini değiştirebilmek için bir aparat tasarlanarak robota monte edilmiştir.

Anahtar Sözcükler : Robot Dinamiği, Robot Tasarımı, Lineerizasyon, Benzetim.

## ABSTRACT

In this project, a computer code, which yields the equations of motion of a robot manipulator in closed-form, has been developed. These equations are derived using the Lagrange's method. The CPU time and memory requirements have been extensively reduced by extending the kinematic notation developed by Lipkin and Duffy and by using it in the kinematics of the robot. A novel measure, called Linearity Number, has been defined to quantify the linearity (or nonlinearity) of any robot manipulator. Using this new concept, it is possible to design robots which are fully linear, or as linear as the design constraints allow.

A simulation software has also been developed to simulate the motion of the ODTÜ-ASELSAN robot. Using this program, the relation between the Linearity Number and the performance of the robot (when a linear control algorithm is implemented) has been investigated. An experimental method has been implemented to determine the dynamic parameters of the ODTÜ-ASELSAN robot. Finally, a detachable device (which modifies the dynamic parameters of the second and third links) has been designed and installed on the robot.

**Key Words :** Dynamics of Robots, Design of Robots, Linearization, Simulation.



# BÖLÜM 1

## GİRİŞ

Bilindiği gibi, robot kolların etkin bir biçimde kontrol edilebilmesi için manipülatörün hareket denklemlerine gereksinim vardır. Bu denklemler kullanılarak: (i) Geliştirilen bir kontrol algoritmasının performansını robotun hareketini bilgisayarda benzetim yaparak test etmek; (ii) İleri beslemeli kontrol algoritmalarında robot kolun tutacının istenen bir yörüngeyi izleyebilmesi için gerekli nominal motor torqlarını hesaplamak mümkündür. Her ne kadar hareket denklemlerini bilgisayar kullanmadan, elle türetmek mümkün ise de, gerekli işlemlerin çok uzun olması ve hata yapma olasılığının yüksek olması nedeniyle, bu yöntem serbestlik derecesi ikiden çok olan robotlar için pratik olmamaktadır.

Hareket denklemlerini sembolik veya nümerik olarak elde etmek mümkündür. Bu denklemlerdeki değişik terimlerin ağırlıklı etkilerini görebilmek ve bu çalışmada da görüleceği gibi robot kolun dinamik parametrelerinin tasarımlarını gerçekleştirebilmek için hareket denklemlerini kapalı formda elde etmek daha yararlı olmaktadır.

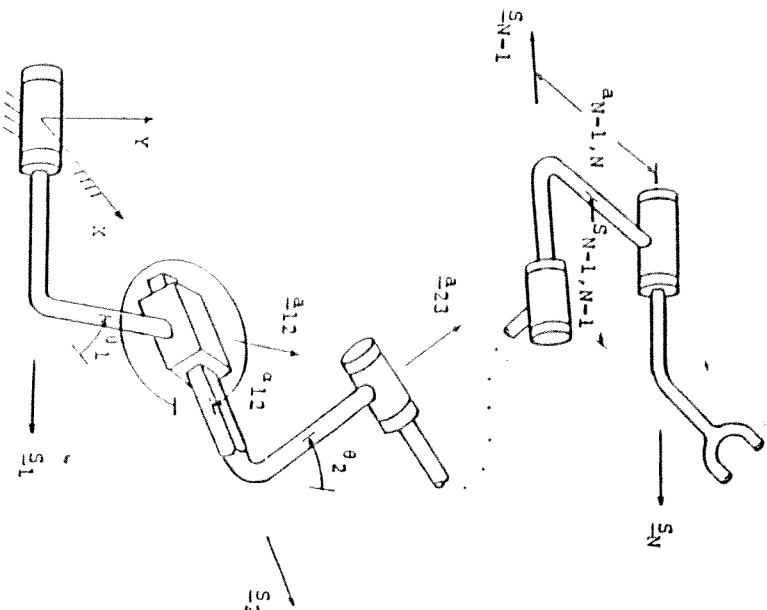
İleri beslemeli kontrol algoritmalarında tutacın istenen bir yörüngeyi izleyebilmesi için gereken nominal motor torqlarının reel zamanda (on line) hesaplanması gerekmektedir. Bu nedenle, hareket denklemlerinin basitleştirilmesi veya mümkünse lineerize edilmesi (böylece lineer kontrol algoritmalarının etkin bir biçimde kullanılabilmesi) önem kazanmaktadır. Asada [1983] robotun genelleştirilmiş atalet matrisinin sabit ve diagonal olabilmesi için birtakım şartlar önermiş, Park ve Cho [1987, 1991] ise robotun enerji denklemlerini kullanarak hareket denklemlerinin bir ölçüde de olsa sadeleştirilebileceğini göstermişlerdir. Bir diğer çalışmada da, Yang ve Tzeng [1986] yine enerji denklemlerini kullanarak, birtakım robotların hareket denklemlerinin lineerize edilebileceğini göstermişlerdir.

Bu çalışmanın amaçları altı ana başlık altında toplanabilir: (i) Herhangi bir robotun hareket denklemlerini kapalı formda veren bir bilgisayar programının geliştirilmesi; (ii) Verilen bir robotun "ne kadar lineer olduğunu" belirleyen bir ölçüt geliştirilmesi; (iii) Bir robotun dinamik parametrelerinin hareket denklemlerini olabildiğince lineer yapacak şekilde seçilmesi; (iv) Robot simülasyonu için bir program geliştirilmesi; (v) ODTÜ - ASELSAN robotunun dinamik parametrelerinin belirlenmesi; (vi) ODTÜ - ASELSAN robotunun dinamik parametrelerinin bir aparat yardımıyla değiştirilmesi.

## HAREKET DENKLEMLERİNİN OTOMATİK OLARAK ELDE EDİLMESİ VE LİNEERİZASYONU

### 2.1. Kinematik Notasyon

Şekil 2.1'de gösterilen  $N$  serbestlik dereceli manipülatörde  $S_i$  ( $i = 1, 2, \dots, N$ ) vektörleri eklemlerine paralel birim vektörleri simgelemektedir.  $a_{ij}$  vektörleri de birim uzunlukta olup,  $S_i$  ve  $S_j$  vektörlerine dik olarak tanımlanmışlardır. Şimdi, ghj artan sırada 4 ardışık tamsayıyı simgelesin.  $S_h$  ( $a_{gh}$ ) ve  $S_i$  ( $a_{hi}$ ) arasındaki açı  $\alpha_{hi}$  ( $\theta_h$ ) ile gösterilmekte olup,  $S_h$  ( $a_{gh}$ )'den  $S_i$  ( $a_{hi}$ )'ye doğru sağ el kuralı kullanılarak  $a_{hi}$  ( $S_h$ ) etrafında ölçülmektedir.  $S_{hh}$  ( $a_{hi}$ ) uzunluğu,  $a_{gh}$  ve  $a_{hi}$  ( $S_h$  ve  $S_i$ ) vektörlerinin üzerinde bulunduğu doğruların arasındaki en kısa mesafe olarak tanımlanmaktadır.



Şekil 2.1.  $N$  Serbestlik Dereceli Manipülatör.

uzun olarak numaralandırılm. Ayrıca,  $i$  uzvuna da  $[B_i]$  eksen takımını sabitlediğimizi varsayalım. Bu eksen takımının  $x$ ,  $y$  ve  $z$  eksenleri sırasıyla  $a_{ij}$ ,  $b_{ij}$  ( $\equiv S_i \cdot x \ a_{ij}$ ) ve  $S_i$  vektörlerine paralel olup,  $O_i$  orijini ise  $S_{ij}$   $S_i$  vektörünün ucunda yer alacaktır. Diğer bir deyişle,  $O_i$  orijini  $S_i$  ve  $a_{ij}$  vektörlerinin üzerinde yer aldığı doğruların kesişim noktasında olacaktır.

$[B_i]$  eksen takımını, birinci, ikinci ve üçüncü sütunları sırasıyla  $a_{ij}$ ,  $b_{ij}$  ve  $S_i$  vektörlerinden oluşan bir rotasyon matrisi olarak göstermek mümkündür. Bu durumda, herhangi iki  $[B_{...}]$  eksen takımı arasındaki ilişkiyi simgeleyen  $[M_{...}]$  rotasyon matrislerinin elemanları Duffy [1980] tarafından geliştirilmiş ve Lipkin [Lipkin H. ve Duffy J., 1985] tarafından genişletilmiş bir kinematik notasyon kullanılarak kolaylıkla elde edilebilir. Söz konusu rotasyon matrislerinin tanımları aşağıda verilmiştir.

$$[M_i] \equiv [B_h]^T [B_i] \quad (2.1)$$

$$[M_{ij}] \equiv [B_h]^T [B_j] \quad (2.2)$$

$$[M_{ijklmn}] \equiv [B_h]^T [B_n] \quad (2.3)$$

Burada,

$$[M_i] = [\alpha_{hi}] [\theta_j] \equiv \begin{bmatrix} P_i & U_i & 0 \\ Q_i & V_i & -S_{hi} \\ R_i & W_i & c_{hi} \end{bmatrix} \quad (2.4)$$

$$[M_j] = [\alpha_{hj}] [\theta_j] [\alpha_{ij}] [\theta_j] \equiv \begin{bmatrix} P_{ij} & U_{ij} & X_i \\ Q_{ij} & V_{ij} & Y_i \\ R_{ij} & W_{ij} & Z_i \end{bmatrix} \quad (2.5)$$

$$[M_{ijklmn}] = [\alpha_{hi}] [\theta_i] \dots [\alpha_{nm}] [\theta_n]$$

$$\equiv \begin{bmatrix} P_{ijklmn} & U_{ijklmn} & X_{ijklmn} \\ Q_{ijklmn} & V_{ijklmn} & Y_{ijklmn} \\ R_{ijklmn} & W_{ijklmn} & Z_{ijklmn} \end{bmatrix} \quad (2.6)$$

$$[\alpha_{nj}] = \begin{bmatrix} 1 & 0 & 0 \\ 0 & c_{hi} & -s_{hi} \\ 0 & s_{hi} & c_{hi} \end{bmatrix} \quad (2.7)$$

$$[\theta_j] = \begin{bmatrix} c_i & -s_i & 0 \\ s_i & c_i & 0 \\ 0 & 0 & 1 \end{bmatrix} \quad (2.8)$$

olarak tanımlanmış olup,  $c_{hi} = \cos(\alpha_{hi})$ ,  $s_{hi} = \sin(\alpha_{hi})$ ,  $c_i = \cos(\theta_i)$ ,  $s_i = \sin(\theta_i)$ 'dir. Burada, [M] matrislerinin elemanları olan P, Q, R, U, V, W, X, Y ve Z terimleri Lipkin-Duffy (LD) notasyonunun [Lipkin H. ve Duffy, J., 1985] elemanları olup, tanımları Ek 1'de verilmiştir. Burada, söz konusu bütün elemanların indekslerinin artan sırada olduğuna dikkat edilmelidir.

Öte yandan, eksilen indeksli LD notasyonunun elemanları da, sol eksen takımları olan [D...] koordinat sistemleri arasındaki ilişkileri belirleyen [M...] matrislerinin elemanlarından benzer bir şekilde türetilir. Örneğin,  $[D_n]$  eksen takımı, sütunları  $\mathbf{a}_{mn}$ ,  $\mathbf{d}_{mn}$  ( $\cong \mathbf{a}_{mn} \times \mathbf{S}_n$ ) ve  $\mathbf{S}_n$ 'den oluşan bir rotasyon matrisi olarak tanımlanmaktadır.

LD elemanlarının düallerinin tanımları Ek 1'de verilmiştir. Örneğin,  $X_{456}$  teriminin düali  $\Delta(X_{456})$  veya  $X_{0456}$  olarak gösterilebilmektedir.  $\Delta$  operatörü Ek 1'de tanımlanmıştır.

## 2.2. Lagrange Formülasyonu

N serbestlik dereceli bir manipülatörün hareket denklemleri Lagrange denklemleri kullanılarak

$$\frac{d}{dt} \left( \frac{\partial E}{\partial \dot{q}_j} \right) - \frac{\partial E}{\partial q_j} + \frac{\partial U}{\partial q_j} = \tau_j \quad j = 1, 2, \dots, N \quad (2.9)$$

şeklinde elde edilebilir. Burada,  $q_j$ ,  $\tau_j$ ,  $t$ , E ve U sırasıyla j'inci eklem değişkenini, j'inci tahrik elemanı torkunu (veya kuvvetini), zamanı, robotun kinetik ve potansiyel enerjilerini simgелеmektedir. Öte yandan, kinetik ve potansiyel enerjiler ise

$$E = \sum_{j=1}^N E_j = \sum_{j=1}^N \frac{1}{2} [w_j] [J_j] w_j + m_j v_j \cdot v_j + \angle (MS_j) \quad (v_j \times w_j) \quad (2.10)$$

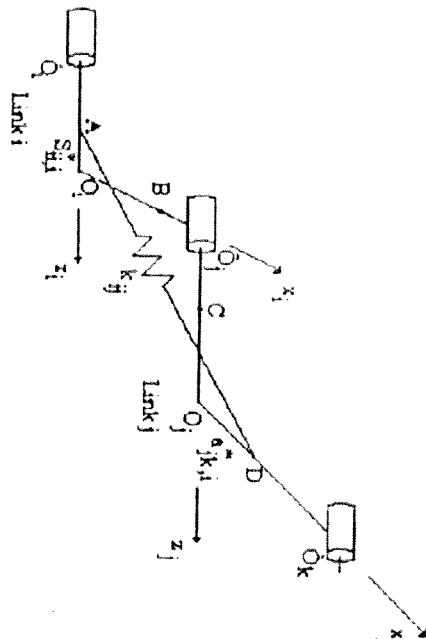
ve

$$U = \sum U_{sp} + \sum_{j=1}^N U_j = \sum U_{sp} - \sum_{j=1}^N [g^T [m_j P_j + [A_j] MS_j)] \quad (2.11)$$

şeklinde [Gauthier, M. ve Khalil, W., 1990] ifade edilebilir. Yukarıdaki eşitliklerde kullanılan notasyon aşağıda açıklanmıştır.

- $E_j$  : j'inci uzvun kinetik enerjisi
- $U_j$  : j'inci uzvun potansiyel enerjisi (yerçekiminden dolayı)
- $U_{sp}$  : j'inci uzvun potansiyel enerjisi (yaylardan dolayı)
- $m_j$  : j'inci uzvun kütlesi
- $[x_j, y_j, z_j]^T$  : j'inci uzvun ağırlık merkezinin pozisyon vektörü  
( $[B_j]$  eksen takımında ifade edilmiş)
- $MS_j$  :  $[m_j x_j, m_j y_j, m_j z_j]^T$
- $[J_j]$  : j'inci uzvun  $[B_j]$  eksen takımında ifade edilmiş eylemsizlik tensörü
- $v_j$  : j uzvu üzerindeki  $O_j$  orijinin hızı ( $[B_j]$  eksen takımında ifade edilmiş)
- $w_j$  : j uzvunun açısıl hızı ( $[B_j]$  eksen takımında ifade edilmiş)
- $g$  : yerçekimi ivmesi vektörü ( $[B_j]$  eksen takımında ifade edilmiş)
- $P_j$  :  $O_j$  orijinin pozisyon vektörü ( $[B_j]$  eksen takımında ifade edilmiş)
- $[A_j]$  :  $[B_j]$  eksen takımının  $[B_{N+1}]$  eksen takımına göre olan açısıl konumunu tanımlayan rotasyon matrisi

(2.11) no'lu eşitlikten de görüleceği üzere, manipülatörün potansiyel enerjisinde yaylardan dolayı olan enerji de gözönüne alınmıştır. Söz konusu yaylar lineer olup, robotun komşu herhangi iki uzvu arasında yerleştirilebilmektedir (Bkz. Şekil 2.2). Böylece, sistemin statik olarak balanslanabilmesi için yaylardan yararlanılmak istenmesi durumunda da, dinamik denklemleri elde etmek mümkün olmaktadır.



Şekil 2.2. İki Komşu Uzvu Bağlayan Yay.

Yayın herhangi bir andaki uzunluğu ve serbest uzunluğu  $l$  ve  $l_0$  ile gösterilecek olursa, yaydaki enerji

$$U_{sp} = \frac{1}{2} k (l^2 - 2l_0 l + l_0^2) \quad (2.12)$$

olarak ifade edilebilir. Öre yandan, yayın bağlanma şekline göre  $l$  uzunluğu

$$l = |AD| = \sqrt{a_{ij}^{*2} + S_{ii,i}^{*2} + a_{jk,i}^{*2} + S_{jj}^2 + 2(a_{ij} a_{jk,i}^* + S_{ii,i}^* S_{jj}^* c_{ij} + S_{ii,i}^* a_{jk,i}^* s_{ij} s_j)} \quad (2.13)$$

$$l = |AC| = \sqrt{a_{ij}^{*2} + (S_{jj} - S_{jj,i}^*)^2 + S_{ii,i}^{*2} + 2 S_{ii,i}^* c_{ij} (S_{jj} - S_{jj,i}^*)} \quad (2.14)$$

$$l = |BC| = \sqrt{(a_{ij} - a_{ij,i}^*)^2 + (S_{jj} - S_{jj,i}^*)^2} \quad (2.15)$$

veya

şeklinde elde edilebilir. Burada,  $S_{ii} = |\hat{O}_i O_i|$ ,  $a_{ij} = |O_i \hat{O}_j|$ ,  $S_{jj} = |\hat{O}_j O_j|$ ,  $a_{jk} = |O_j \hat{O}_k|$  olarak tanımlanmıştır.

Açıkça görüleceği üzere, yayın serbest uzunluğunun sıfır olmaması durumunda  $U_{sp}$  (ve dolayısıyla hareket denklemleri) nonlineer olacaktır. Bu yüzden, yay kullanılması durumunda, yayların serbest uzunluğunun sıfır olmasına dikkat edilmelidir. Pratikte bu tür yayların imali mümkündür (Bkz. Nahan, R.H., 1985; Streit, D.J. ve Gilmore, B.J., 1989).

### 2.3. Hareket Denklemleri

Robot hareket denklemlerinin kapalı formda yazılması durumunda bu denklemler çok uzun olmaktadır. Örneğin, 6 serbestlik dereceli ve sadece döner eklemlerden oluşan bir robotun hareket denklemlerinin yaklaşık olarak 250 basılı sayfa tutacağı bilinmektedir [Khosla, P.K., 1989]. Denklemlerin bu kadar uzun olması, hem türetilme sırasında bilgisayar zamanı ve bellek problemlerine yol açmakta, hem de sonuçta elde edilen denklemlerin kullanımında sorunlar çıkmaktadır. Bu nedenle, hareket denklemlerinin daha kısa olarak daha kolay bir şekilde elde edilebilmesi için bu çalışmada iki değişik önlem alınmıştır.

**Önlem 1:** Bilindiği gibi, robotun herhangi bir uzvunun dinamik özelliklerinin belirlenebilmesi için

$$I_j = (XX_j, XY_j, XZ_j, YY_j, YZ_j, ZZ_j, MX_j, MY_j, MZ_j, m_j)^T \quad (2.17)$$

vektörü ile tanımlanabilen 10 değişik parametreye gereksinim vardır. Bu parametreler,  $[J_j]$  eylemsizlik tensörünün 6 elemanı [yani j uzvunun x, y ve z eksenlerine  $(XX_j, YY_j$  ve  $ZZ_j)$  ve xy, xz ve yz düzlemlerine  $(XY_j, XZ_j$  ve  $YZ_j)$  göre olan eylemsizlik momentleri],  $MX_j \equiv m_j x_j$ ,  $MY_j \equiv m_j y_j$ ,  $MZ_j \equiv m_j z_j$  ve j'inci uzvun kütleli olan  $m_j$ 'dir. Böylece N serbestlik dereceli bir robotta 10N adet dinamik parametre bulunacaktır. Öte yandan, hareket denklemlerinde bu parametrelerin bir kısmı hiç gözükmemekte; bir kısmı ise, lineer olarak gruplanabilmektedir. Sadece robot eklemlerinin tiplerine bakılarak denklemlerde hiç yer almayan veya gruplanabilen parametreleri bir algoritma aracılığıyla belirlemek mümkündür [Gautier, M. ve Khalil, W., 1990]. Örneğin, j eklemi bir döner eklem ise,  $YY_j$ ,  $MZ_j$  ve  $m_j$  j'inci ve (j-1)'inci uzvun dinamik parametrelerinin içinde yer alacak şekilde, aşağıdaki tanımlarda verildiği üzere gruplanabilmektedir.

$$\begin{aligned}
XXR_{j-1} &= XX_{j-1} + YY_j + 2S_{jj}MZ_j + S_{jj}^2m_j \\
XYR_{j-1} &= XY_{j-1} + a_{ij}s_{ij}MZ_j + a_{ij}S_{jj}s_{ij}m_j \\
XZR_{j-1} &= XZ_{j-1} - a_{ij}c_{ij}MZ_j - a_{ij}S_{jj}c_{ij}m_j \\
YYR_{j-1} &= YY_{j-1} + c_{ij}^2YY_j + 2S_{jj}c_{ij}^2MZ_j + (a_{ij}^2 + S_{jj}^2c_{ij}^2)m_j \\
YZR_{j-1} &= YZ_{j-1} + c_{ij}s_{ij}YY_j + 2S_{jj}c_{ij}s_{ij}MZ_j + S_{jj}^2c_{ij}s_{ij}m_j \\
ZZR_{j-1} &= ZZ_{j-1} + s_{ij}^2YY_j + 2S_{jj}s_{ij}^2MZ_j + (a_{ij}^2 + S_{jj}^2s_{ij}^2)m_j \\
MXR_{j-1} &= MX_{j-1} + a_{ij}m_j \\
MYR_{j-1} &= MY_{j-1} - s_{ij}MZ_j - S_{jj}s_{ij}m_j \\
MZR_{j-1} &= MZ_{j-1} + c_{ij}MZ_j + S_{jj}c_{ij}m_j \\
MR_{j-1} &= M_{j-1} + m_j
\end{aligned} \tag{2.18}$$

Öte yandan, jinci eklem kayar eklem ise,  $XX_j$ ,  $XY_j$ ,  $XZ_j$ ,  $YY_j$ ,  $YZ_j$  ve  $ZZ_j$  (j-1)'inci uzvun dinamik parametrelerinin içinde yer alacak şekilde gruplanabilir:

$$\begin{aligned}
XXR_{j-1} &= XX_{j-1} + c_j^2XX_j - 2c_js_jXY_j + s_j^2YY_j \\
XYR_{j-1} &= XY_{j-1} + c_js_jc_{ij}XX_j + (c_j^2 - s_j^2)c_{ij}XY_j - c_js_{ij}XZ_j - c_js_jc_{ij}YY_j + s_js_{ij}YZ_j \\
XZR_{j-1} &= XZ_{j-1} + c_js_js_{ij}XX_j + (c_j^2 - s_j^2)c_{ij}XY_j - c_jc_{ij}XZ_j - c_js_js_{ij}YY_j - s_jc_{ij}YZ_j \\
YYR_{j-1} &= YY_{j-1} + s_j^2c_{ij}^2XX_j + 2c_js_jc_{ij}^2XY_j - 2s_jc_{ij}s_{ij}XZ_j + c_j^2c_{ij}^2YY_j \\
&\quad - 2c_jc_{ij}s_{ij}YZ_j + s_{ij}^2ZZ_j \\
YZR_{j-1} &= YZ_{j-1} + s_j^2c_{ij}s_{ij}XX_j + 2c_js_jc_{ij}s_{ij}XY_j + s_j(c_{ij}^2 - s_{ij}^2)XZ_j + c_j^2c_{ij}s_{ij}YY_j \\
&\quad + c_j(c_{ij}^2 - s_{ij}^2)YZ_j - c_{ij}s_{ij}ZZ_j \\
ZZR_{j-1} &= ZZ_{j-1} + s_j^2s_{ij}^2XX_j + 2c_js_js_{ij}^2XY_j + 2s_js_jc_{ij}s_{ij}XZ_j + c_j^2s_j^2YY_j \\
&\quad + 2c_jc_{ij}s_{ij}YZ_j + c_j^2ZZ_j
\end{aligned} \tag{2.19}$$

Yukarıda bahsedilen gruplamalara ek olarak kinematik parametrelerin de belli olması durumunda parametre sayısı daha da indirilebilmektedir. Örneğin, PUMA 560 robotunun 11 parametresi dinamik denklemleri hiç etkilememekte, 13 parametresi ise gruplamalardan dolayı denklemlerde gözükmemektedir. Böylece, parametre sayısı 60'dan 36'ya düşmektedir.

**Önlem 2:** Robotun dinamik denklemleri kapalı formda istendiği için denklemlerin türetilmesinde (2.9) denklemiyle verilen Lagrange eşitliği kullanılmıştır. Robotun kinetik ve potansiyel enerjileri kapalı formda yazıldıkları zaman ortaya uzun ifadeler çıkmaktadır. Her ne kadar bu enerjilerin Lagrange eşitliğinin gerektirdiği parametrelere göre olan türevlerini REDUCE sembolik manipülasyon programı aracılığıyla almak mümkünse de, bu işlemlerin bilgisayar zamanı ve bellek gereksinimleri çok büyük olacaktır. Ayrıca, daha önce de belirtildiği gibi elde edilecek hareket denklemleri de uzun olacaktır. Bu nedenlerle, robotun kinetik ve potansiyel enerjileri LD notasyonu kullanılarak ifade edilmiştir.



Şimdi, sadece döner eklemlerden oluşan 6 serbestlik dereceli bir robotu gözönüne alalım. Robotun 3. uzvunun ağırlık merkezinin  $O_3$  orijininde olduğu ve kütlelerinin de  $m_3$  ile gösterildiği varsayılarak, bu uzvun sadece  $m_3$ 'den dolayı olan kinetik enerjisi 2 değişik şekilde ifade edilmiştir (bkz. Ek 2). Birinci ifadede LD notasyonu kullanılmış, ikinci ifadede ise bu notasyon kullanılmamıştır. Ek 2 'de de görüldüğü gibi birinci ifade 9, ikincisi ise 103 terim içermektedir. Diğer bir deyişle, kinetik enerjinin karmaşıklığı terim sayısı bazında % 91 oranında azaltılmıştır. Şimdi, LD notasyonu kullanılarak yazılmış kinetik enerjinin (2.9) no'lu Lagrange eşitliğine konulduğunu ve  $j = 1$  alındığını varsayalım. Bu durumda, (2.9) no'lu eşitliğin 2. terimi  $-\frac{\partial E}{\partial \theta_1}$  olacaktır. Bu terimi elde edebilmek için Lipkin-Duffly terimlerinin ve düallerinin  $\theta_1$  'e göre türevlerini almak gerekmektedir. Bu iş için, gelişmiş olduğumuz herhangi bir Lipkin-Duffly teriminin veya düalinin herhangi bir  $\theta$  'ya göre olan türevini yine Lipkin-Duffly terimleri ve düalleri cinsinden ve kapalı formda veren formüller kullanılmaktadır (Bkz. Bölüm 2.4). (2.9) no'lu eşitliğin ilk terimi olan  $\frac{d}{dt} \left( \frac{\partial E}{\cdot} \right)$  da zincir kuralı ve söz konusu formüller kullanılarak kolaylıkla bulunulabilir. Böylece hem türev alma işlemleri çok hızlı gerçekleştirilmekte, hem bellek gereksinimi çok büyük ölçüde azaltılmış olmakta, hem de sonuçlar (yani hareket denklemleri) Lipkin-Duffly notasyonu kullanılarak ifade edildiğinden tam açılmış haline göre çok daha kısa olmaktadır.

Bilindiği gibi, uzuv numarası büyüdükçe kinetik enerjinin karmaşıklığı da artmaktadır. Örneğin, 6 döner eklemlili bir robotun 6. uzvunun ağırlık merkezinin  $O_6$  orijininde olduğu ve kütlelerinin de  $m_6$  ile gösterildiği varsayıldığında, bu uzvun sadece  $m_6$  'dan dolayı olan kinetik enerjisi LD notasyonu kullanılarak yazıldığında 45 terim, bu notasyon kullanılmadan açık halde yazıldığında ise 640.306 terim (benzer terimler sadeleştirilmeden önce) içermektedir. İkinci terim sayısı LD notasyonundaki elemanların içerdikleri terim sayıları kullanılarak, kinetik enerjinin açık hali bulunmadan elde edilmiştir.

Yukarıda kısaca özetlenen metodları ve REDUCE isimli sembolik manipülasyon paketini kullanarak herhangi bir robotun hareket denklemlerini sembolik formda verebilen bir yazılım geliştirilmiştir. Bu yazılım kullanılarak robotun hareket denklemlerini tek tek sıralamak; veya bu denklemlerin

$$[H(\mathbf{q})] \ddot{\mathbf{q}} + [C(\mathbf{q})] \dot{\mathbf{q}}^2 + G(\mathbf{q}) = \boldsymbol{\tau} \quad (2.20)$$

elemanlarını elde etmek mümkündür. (2.20) no'lu denkleme kullanılan notasyon aşağıda açıklanmıştır.

- $N$  : Robotun serbestlik derecesi  
 $q$  :  $N \times 1$ 'lik eklemler değişkenleri vektörü  
 $[H(q)]$  :  $N \times N$ 'lik eylemsizlik matrisi (generalized inertia matrix)  
 $[C(q)]$  : Coriolis ve merkezkaç kuvvetlerini veren  $(N) \times (\frac{N^2+N}{2})$  'lik matris.  
 $\ddot{q}$  : Komponentleri sırasıyla  $\ddot{q}_1, \ddot{q}_1, \ddot{q}_2, \dots, \ddot{q}_1, \ddot{q}_N, \ddot{q}_2, \ddot{q}_2, \ddot{q}_2, \ddot{q}_3, \dots, \ddot{q}_2, \ddot{q}_N,$   
 $\dot{q}_3, \dot{q}_3, \dot{q}_3, \dot{q}_4, \dots, \dot{q}_N, \dot{q}_N$  olan  $(\frac{N^2+N}{2}) \times 1$  'lik vektör  
 $G(q)$  : Yercekimi immesinden ve (varsa) yaylardan kaynaklanan kuvvetleri veren  $N \times 1$ 'lik vektör. Burada yayların lineer olduğu ve ar dışık iki uzun  $N \times 1$ 'lik vektör. Üzerindeki herhangi iki noktaya bağlandıkları varsayılmaktadır.  
 $\tau$  : Genelleştirilmiş tahrik elemanı kuvvetlerini veren  $N \times 1$ 'lik vektör.

Denklemleri türeten yazılımda değişik opsiyonlar da bulunmaktadır. Örneğin, kullanıcı LD notasyonunun ve Gautier tarafından geliştirilen dinamik parametre gruplamalarının kullanılmasını isteyip istemediğini de belirtebilmektedir.

Şimdi, örnek olarak 3 döner eklemden oluşan bir robot-kolu ele alalım. Bu robotun hareket denklemleri (robotun hiçbir kinematik ve dinamik boyutunun verilmemesi varsayılarak) geliştirilen program aracılığıyla (Bkz. Ek 3) elde edilmiştir. Hareket denklemlerindeki terim sayısı LD notasyonu ve Gautier tarafından geliştirilen gruplamaların kullanılması halinde 409; LD notasyonu ve gruplamaların kullanılmaması durumunda ise 1229 (yani, yaklaşık olarak 3 misli) olmaktadır.

#### 2.4. Lipkin-Duffy Terimlerinin Türevleri

$[B_c]$  ve  $[B_n]$  eksen takımları arasındaki ilişkiyi veren  $[M_{c...hij...n}]$  matrisinin  $\theta_i$  açısına göre olan türevi

$$\frac{\partial}{\partial \theta_i} [M_{c...hij...n}] = \frac{\partial}{\partial \theta_i} \{ [M_{c...h}] [\alpha_{hi}] [\theta_i] [M_j...n] \} \quad (2.21)$$

şeklinde yazılabilir.  $[\theta_i]$  matrisi sadece  $\theta_i$  açısını içerdiği için yukarıdaki eşitlik

$$\frac{\partial}{\partial \theta_i} [M_{c...hj...n}] = [M_{c...h}] [\alpha_{hj}] \frac{\partial}{\partial \theta_i} [\theta_i] [M_{j...n}] \quad (2.22)$$

olarak sadeleştirilebilir. Öte yandan,  $[\theta_i]$  matrisinin türevinin

$$\frac{d}{d \theta_i} [\theta_i] = [d\theta] [\theta_i] = [\theta_i] [d\theta] \quad (2.23)$$

olduğu kolaylıkla gösterilebilir. Burada  $[d\theta]$  matrisi

$$[d\theta] = \begin{bmatrix} 0 & -1 & 0 \\ 1 & 0 & 0 \\ 0 & 0 & 0 \end{bmatrix} \quad (2.24)$$

olarak tanımlanmıştır. (2.23) eşitliği ve

$$[M_{c...h}] [\alpha_{hj}] [\theta_i] = [M_{c...i}] \quad (2.25)$$

bağınusı gözönüne alındığında, (2.22) eşitliği

$$\frac{\partial}{\partial \theta_i} [M_{c...hj...n}] = [M_{c...i}] [d\theta] [M_{j...n}] \quad (2.26)$$

şeklinde sadeleşir.  $[M_{c...n}]$ ,  $[M_{c...i}]$  ve  $[M_{j...n}]$  matrislerinin elemanları (2.6) no'lu eşitlikte gösterildiği gibi tanımlandıktan sonra gerekli cebirsel işlemler yapılır; ve (2.26) no'lu eşitliğin sağındaki ve solundaki matrislerin elemanları birbirlerine eşitlenir ise, aşağıdaki bağınular elde edilir.

$$\frac{\partial P_{c...hj...n}}{\partial \theta_i} = U_{c...i} P_{j...n} - P_{c...i} Q_{j...n}$$

$$\frac{\partial Q_{c...hj...n}}{\partial \theta_i} = V_{c...i} P_{j...n} - Q_{c...i} Q_{j...n}$$

$$\frac{\partial R_{c...hj...n}}{\partial \theta_i} = W_{c...i} P_{j...n} - R_{c...i} Q_{j...n}$$

$$\begin{aligned} \frac{\partial V_{c...hj...n}}{\partial \theta_i} &= U_{c...i} U_{j...n} - P_{c...i} Y_{j...n} \\ \frac{\partial V_{c...hj...n}}{\partial \theta_i} &= V_{c...i} U_{j...n} - Q_{c...i} Y_{j...n} \end{aligned} \quad (2.27)$$

$$\frac{\partial W_{c...hj...n}}{\partial \theta_i} = W_{c...i} U_{j...n} - R_{c...i} Y_{j...n}$$

$$\frac{\partial X_{c...hj...n}}{\partial \theta_i} = U_{c...i} X_{j...n} - P_{c...i} Y_{j...n}$$

$$\frac{\partial Y_{c...hj...n}}{\partial \theta_i} = V_{c...i} X_{j...n} - Q_{c...i} Y_{j...n}$$

$$\frac{\partial Z_{c...hj...n}}{\partial \theta_i} = W_{c...i} X_{j...n} - R_{c...i} Y_{j...n}$$

Benzer bir şekilde, LD terimlerinin ilk ve son  $\theta$  açısına göre olan türevleri de bulunabilir.

Söz konusu türevler

$$\frac{\partial P_{c...hj...n}}{\partial \theta_c} = U_c P_{d...n} - P_c Q_{d...n}$$

$$\frac{\partial Q_{c...hj...n}}{\partial \theta_c} = V_c P_{d...n} - Q_c Q_{d...n}$$

$$\frac{\partial R_{c...hj...n}}{\partial \theta_c} = W_c P_{d...n} - R_c Q_{d...n}$$

$$\frac{\partial U_{c...hj...n}}{\partial \theta_c} = U_c U_{d...n} - P_c V_{d...n}$$

$$\frac{\partial U_c}{\partial \theta_c} = V_c U_{d..n} - Q_c V_{d..n} \quad (2.28)$$

$$\frac{\partial W_{c..hj..n}}{\partial \theta_c} = W_c U_{d..n} - R_c V_{d..n}$$

$$\frac{\partial X_{c..hj..n}}{\partial \theta_c} = U_c X_{d..n} - P_c Y_{d..n}$$

$$\frac{\partial Y_{c..hj..n}}{\partial \theta_c} = V_c X_{d..n} - Q_c Y_{d..n}$$

$$\frac{\partial Z_{c..hj..n}}{\partial \theta_c} = W_c X_{d..n} - R_c Y_{d..n}$$

ve

$$\frac{\partial P_{c..hj..n}}{\partial \theta_n} = U_{c..n}$$

$$\frac{\partial Q_{c..hj..n}}{\partial \theta_n} = V_{c..n}$$

$$\frac{\partial R_{c..hj..n}}{\partial \theta_n} = W_{c..n}$$

$$\frac{\partial U_{c..hj..n}}{\partial \theta_n} = -P_{c..n}$$

$$\frac{\partial V_{c..hj..n}}{\partial \theta_n} = -Q_{c..n} \quad (2.29)$$

$$\frac{\partial W_{c..hj..n}}{\partial \theta_n} = -R_{c..n}$$

$$\frac{\partial \theta_n}{\partial \theta_n} = S_{no} F_{c..n}$$

$$\frac{\partial Y_{c..hi..n}}{\partial \theta_n} = S_{no} Q_{c..n}$$

$$\frac{\partial Z_{c..hi..n}}{\partial \theta_n} = S_{no} R_{c..n}$$

bağıntılarıyla verir. Tek indeksli terimlerin türevleri ise şöyledir:

$$\frac{\partial P_i}{\partial \theta_i} = U_i$$

$$\frac{\partial Q_i}{\partial \theta_i} = V_i$$

$$\frac{\partial R_i}{\partial \theta_i} = W_i$$

$$\frac{\partial U_i}{\partial \theta_i} = -P_i$$

$$\frac{\partial V_i}{\partial \theta_i} = -Q_i$$

(2.30)

$$\frac{\partial W_i}{\partial \theta_i} = -R_i$$

$$\frac{\partial X_i}{\partial \theta_i} = \bar{W}_i$$

$$\frac{\partial Y_i}{\partial \theta_i} = c_{hi} X_i$$

$$\frac{\partial \theta_i}{\partial \theta_i} = \dots$$

Eksilen indeksli LD terimlerinin türevleri ise, tek indeksler için,

$$\frac{\partial \bar{P}_i}{\partial \theta_i} = \bar{U}_i$$

$$\frac{\partial \bar{Q}_i}{\partial \theta_i} = \bar{V}_i$$

$$\frac{\partial \bar{R}_i}{\partial \theta_i} = \bar{W}_i$$

$$\frac{\partial \bar{U}_i}{\partial \theta_i} = -\bar{P}_i$$

$$\frac{\partial \bar{V}_i}{\partial \theta_i} = -\bar{Q}_i$$

$$\frac{\partial \bar{W}_i}{\partial \theta_i} = -\bar{R}_i$$

$$\frac{\partial \bar{X}_i}{\partial \theta_i} = W_i$$

$$\frac{\partial \bar{Y}_i}{\partial \theta_i} = c_{ij} R_i$$

$$\frac{\partial \bar{Z}_i}{\partial \theta_i} = s_{ij} R_i$$

(2.31)

$$\frac{\partial P_{m...jih...e}}{\partial \theta_i} = U_{m...i} P_{h...e} - P_{m...i} Q_{h...e}$$

$$\frac{\partial Q_{m...jih...e}}{\partial \theta_i} = V_{m...i} P_{h...e} - Q_{m...i} Q_{h...e}$$

$$\frac{\partial R_{m...jih...e}}{\partial \theta_i} = W_{m...i} P_{h...e} - R_{m...i} Q_{h...e}$$

$$\frac{\partial U_{m...jih...e}}{\partial \theta_i} = U_{m...i} U_{h...e} - P_{m...i} V_{h...e}$$

$$\frac{\partial V_{m...jih...e}}{\partial \theta_i} = V_{m...i} U_{h...e} - Q_{m...i} V_{h...e}$$

$$\frac{\partial W_{m...jih...e}}{\partial \theta_i} = W_{m...i} U_{h...e} - R_{m...i} V_{h...e}$$

$$\frac{\partial X_{m...jih...e}}{\partial \theta_i} = U_{m...i} X_{h...e} - P_{m...i} Y_{h...e}$$

$$\frac{\partial Y_{m...jih...e}}{\partial \theta_i} = V_{m...i} X_{h...e} - Q_{m...i} Y_{h...e}$$

$$\frac{\partial Z_{m...jih...e}}{\partial \theta_i} = W_{m...i} X_{h...e} - R_{m...i} Y_{h...e}$$

ilk  $\theta$  açısına göre:

$$\frac{\partial P_{m...jih...e}}{\partial \theta_m} = U_m P_{l...e} - P_m Q_{l...e}$$



$$\frac{\partial \bar{V}_m}{\partial \theta_m} = V_m P_{1..e} - Q_m Q_{1..e}$$

$$\frac{\partial R_{m...jih...e}}{\partial \theta_m} = \bar{W}_m P_{1..e} - \bar{R}_m Q_{1..e}$$

$$\frac{\partial U_{m...jih...e}}{\partial \theta_m} = U_m U_{1..e} - P_m Y_{1..e}$$

$$\frac{\partial V_{m...jih...e}}{\partial \theta_m} = \bar{V}_m U_{1..e} - \bar{Q}_m Y_{1..e}$$

(2.33)

$$\frac{\partial W_{m...jih...e}}{\partial \theta_m} = \bar{W}_m U_{1..e} - \bar{R}_m Y_{1..e}$$

$$\frac{\partial X_{m...jih...e}}{\partial \theta_m} = U_m X_{1..e} - P_m Y_{1..e}$$

$$\frac{\partial Y_{m...jih...e}}{\partial \theta_m} = \bar{V}_m X_{1..e} - \bar{Q}_m Y_{1..e}$$

$$\frac{\partial Z_{m...jih...e}}{\partial \theta_m} = \bar{W}_m X_{1..e} - \bar{R}_m Y_{1..e}$$

ve son  $\theta$  açısına göre:

$$\frac{\partial P_{m...jih...e}}{\partial \theta_e} = U_{m...e}$$

$$\frac{\partial Q_{m...jih...e}}{\partial \theta_e} = Y_{m...e}$$

$$\frac{\partial R_{m...jih...e}}{\partial \theta_e} = W_{m...e}$$

$$\frac{\partial P_{m\dots c}}{\partial \theta_c} = -P_{m\dots c}$$

$$\frac{\partial V_{m\dots jh\dots c}}{\partial \theta_c} = -Q_{m\dots c}$$

(2.34)

$$\frac{\partial W_{m\dots jh\dots c}}{\partial \theta_c} = -R_{m\dots c}$$

$$\frac{\partial X_{m\dots jh\dots c}}{\partial \theta_c} = P_{m\dots c} S_{bc}$$

$$\frac{\partial Y_{m\dots jh\dots c}}{\partial \theta_c} = Q_{m\dots c} S_{bc}$$

$$\frac{\partial Z_{m\dots jh\dots c}}{\partial \theta_c} = R_{m\dots c} S_{bc}$$

şeklinde elde edilebilir.

## 2.5. Lineerlik Endeksi

Bağımsız değişkenleri  $\mathbf{q} \equiv (q_1, q_2, \dots, q_N)$  olan bir  $f(\mathbf{q})$  skalar fonksiyonunu ele alalım. Ayrıca  $f(\mathbf{q})$  fonksiyonunun bir  $c$  sabitinden sapmasını gösteren hatayı da

$$E(f, c) \equiv \int \int \dots \int \int_{\mathbf{R}} [f(\mathbf{q}) - c]^2 dV_{\mathbf{q}} \quad (2.35)$$

olarak tanımlayalım. Burada,  $\mathbf{R}$   $\mathbf{q}$ -uzayındaki bir bölgeyi,  $dV_{\mathbf{q}}$  ise  $\mathbf{q}$ -uzayının diferansiyel hacim elemanı olan  $(dq_1 dq_2 \dots dq_N)$ 'i simgelesin. Kolayca gösterilebileceği gibi,  $\mathbf{R}$  bölgesindeki  $E(f, c)$  hatasını minimize edecek  $c$  değeri, fonksiyonun  $\mathbf{R}$  bölgesindeki ortalama değeri olan

$$f_{av} = \frac{\int \int \dots \int \int_{\mathbf{R}} f(\mathbf{q}) dV_{\mathbf{q}}}{V} \quad (2.36)$$

olacaktır. Burada,  $V$  sembolü  $R$  bölgesinin hacmini simgelemekte olup,

$$V = \int \int \int \dots \int \int \int dV_q \quad (2.37)$$

şeklinde hesaplanabilir. Böylece,  $E(f, c)$  hatasının minimum değeri  $E(f, f_{av})$  olarak elde edilecektir. Söz konusu minimum hata, (2.35) ve (2.36) no'lu eşitlikler kullanılarak

$$E(f, f_{av}) = \int \int \int \dots \int \int \int [f(q) - f_{av}]^2 dV_q \quad (2.38)$$

şeklinde bulunabilir.

Bilindiği gibi, bir manipülatörün hareket denklemleri (Bkz. (2.20) no'lu eşitlik) non-lineer bir diferansiyel denklemler takımı oluşturmaktadır. Bu denklemlerin lineer olabilmesi için  $[H(q)]$  matrisi ve  $G(q)$  vektörünün bütün elemanlarının sabit olması;  $[C(q)]$  matrisinin ise sıfır matrisi olması gerekmektedir. Bu bilgilerin ışığı altında, bir robot kolun Lineerlik Endeksi

$$\begin{aligned} LE \equiv & \left\{ \sum_{j=1}^N \sum_{i=1}^N H_{ij} E[H(i,j), H(i,j)_{av}] \right. \\ & + \sum_{j=1}^{(N^2 \pm N)/2} \sum_{i=1}^N C_{ij} E[C(i,j), 0] \\ & \left. + \sum_{i=1}^N G_i E[G(i), G(i)_{av}] \right\} \div V \quad (2.39) \end{aligned}$$

olarak tanımlanabilir. (2.39) no'lu eşitlikte kullanılan notasyon aşağıda açıklanmıştır.

$E[\dots]$	: (2.35) ve (2.38) no'lu eşitliklerle tanımlanan hata fonksiyonu
$H(i, j)$	: $[H(q)]$ matrisinin $i$ nci sıra, $j$ 'nci sütundaki elemanı
$H(i, j)_{av}$	: $H(i, j)$ 'nin ortalama değeri
$C(i, j)$	: $[C(q)]$ matrisinin $i$ nci sıra, $j$ 'nci sütundaki elemanı
$G(i)$	: $G(q)$ vektörünün $i$ nci elemanı
$G(i)_{av}$	: $G(i)$ 'nin ortalama değeri

- U<sub>j</sub> : U<sub>j</sub> (1,q) IIIII AĞUULIK KALIBAYISI (KULLANICI TARAFINDAN SEÇİLECEK)
- G<sub>i</sub> : G (i) 'nin ağırlık katsayısı (kullanıcı tarafından seçilecek)
- N : Robotun serbestlik derecesi
- V : Robotun eklem değişkenleri uzayındaki (q - uzayı) erişilebilir noktaları simgeleyen R bölgesinin (2.37) no'lu eşitlik aracılığıyla bulunan hacmi.

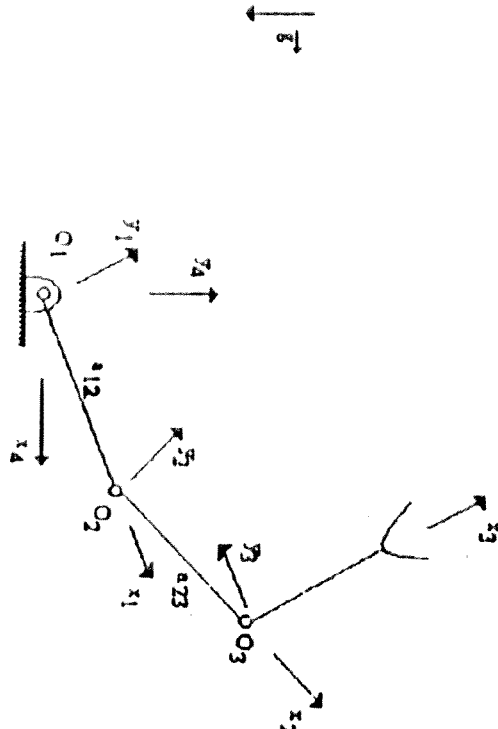
(2.39) no'lu eşitlikle verilen LE'yi hesaplayabilmek için H(i,j), C(i,j) ve G(i) elemanlarına karşılık gelen E hata fonksiyonlarının gerektirdiği katlı integralleri almak gerekmektedir. Bu integrallerin nümerik olarak alınması hem bilgisayar zamanını arttıracak, hem de sonuçların hassasiyeti açısından yeterli olmayabilecektir. Öte yandan, söz konusu elemanların genel karakteristiklerine bakıldığında, bu elemanlara karşılık gelen hata fonksiyonlarının analitik olarak (REDUCE paket programı kullanılarak) bulunabileceği görülmüştür. Bu nedenle, REDUCE yazılımı kullanılarak katlı integral alabilen bir program geliştirilmiştir. H(i,j), C(i,j) ve G(i) elemanlarına karşılık gelen E fonksiyonları bu program aracılığıyla, kapalı formda elde edilmektedir.

Tanımından da açıkça görülebileceği gibi, LE'nin sıfır olması robotun hareket denklemlerinin lineer olduğu anlamına gelmektedir. Tabiidir ki, her robotu tamamiyle lineer hale getirmek mümkün olmayabilir. Böyle bir durumda, LE'nin mümkün olduğunca küçük bir sayı olmasına gayret edilebilir. Lineerlik Endeksi robotun kinematik ve dinamik boyutlarına bağlı olduğu için, tasarım sırasında bu boyutları LE'yi minimize edecek şekilde seçerek dinamizi mümkün olduğunca lineer robotlar tasarmlanabilir.

Söz konusu minimizasyon problemini nümerik optimizasyon metodları kullanarak çözmek mümkündür. Fakat, bilindiği gibi bu tür yöntemlerin, yakınsama, global optimumu garanti edememe, ve büyük boyutlu bilgisayar zamanı gereksinimi (bilhassa fazla sayıda değişkeni olan optimizasyon problemlerinde) gibi birtakım dezavantajları bulunmaktadır. Bu nedenle, REDUCE paketi de kullanılarak, aşağıda tanımlanan türdeki minimizasyon problemlerinde global minimumu verebilen bir yazılım geliştirilmiştir.

$$\begin{aligned}
 \text{Minimize edilecek fonksiyon} & : f(x_1, x_2, \dots, x_n) & i = 1, 2, \dots, m \\
 \text{Kısıtlar} & : g_i(x_1, x_2, \dots, x_n) = 0 & i = 1, 2, \dots, m \\
 & (x_i)_{\min} \leq x_i \leq (x_i)_{\max} & i = 1, 2, \dots, n \\
 & h_i(x_1, x_2, \dots, x_n) \geq 0 & i = 1, 2, \dots, p
 \end{aligned} \tag{2.40}$$

REDUCE tarafından bulunabilen ve bu türevleri sıfıra eşitleyerek elde edilen eşitliklerin REDUCE tarafından çözülebildiği her türlü non-linear  $f(x_1, x_2, \dots, x_n)$  fonksiyonunun global minimumunu bulabilmektedir. Bu yazılım kullanılarak, robotun dinamik ve/veya kinematik boyutları LE'yi minimize edecek şekilde optimize edilebilmektedir.



Şekil 2.3. Üç Döner Eklemlili Düzlemsel Robot.

Geliştirilen programlar aracılığıyla (Bkz. Ek 3) Şekil 2.3 'de gösterilen 3 döner eklemlili düzlemsel robotun lineerlik endeksi

$$\begin{aligned}
 LE = & a_{12}^2 [ 50 m_2^2 + 100 m_2 m_3 + 6 a_{23}^2 m_3^2 + 50 m_3^2 + 12 a_{23} m_3 m_2 x_2 \\
 & + 6 m_2^2 x_2^2 + 12 m_3^2 x_3^2 + 12 m_3 y_3^2 + 6 m_2^2 y_2^2 ] + 100 a_{12} m_2 m_1 x_1 \\
 & + 100 a_{12} m_3 m_1 x_1 + 100 a_{23}^2 m_3^2 + 200 a_{23} m_3 m_2 x_2 + 22 a_{23} m_3^2 x_2^2 \\
 & + 22 a_{23}^2 m_3^2 y_3^2 + 100 m_2^2 x_2^2 + 150 m_3^2 x_3^2 + 150 m_3^2 y_3^2 + 100 m_2^2 y_2^2 \\
 & + 50 m_1^2 x_1^2 + 50 m_1^2 y_1^2
 \end{aligned}
 \tag{2.41}$$

$$R = \{ (\theta_1, \theta_2, \theta_3) : 0 \leq \theta_i \leq 2\pi \quad i = 1, 2, 3 \} \quad (2.42)$$

$$H_{ij} = C_{ij} = G_i = 1 \quad (2.43)$$

olarak alınmış olup,  $g = 10 \text{ m/s}^2$ 'dir. Ayrıca (2.41) no'lu eşitlikte  $m_i$  ve  $x_i, y_i$  sırasıyla  $i$ 'nci uzvun kütesini ve  $i$ 'nci uzvun ağırlık merkezinin  $x_i, y_i$  eksen takımındaki (Bkz. Şekil 2.3)  $x$  ve  $y$  koordinatlarını simgelemektedir. Şimdi,  $m_1, m_2, m_3, x_1, x_2, x_3, y_1, y_2$  ve  $y_3$  tasarım parametreleri olarak alınır ve geliştirilen optimizasyon paketi kullanılır ise,

$$y_1 = 0 \quad (2.44)$$

$$y_2 = 0, \quad m_2 = (m_1 x_1 a_{23}) / (x_2 a_{12} - a_{12} a_{23}) \quad (2.45)$$

$$x_3 = y_3 = 0, \quad m_3 = - (m_1 x_1 x_2) / (x_2 a_{12} - a_{12} a_{23}) \quad (2.46)$$

eşitliklerinin sağlanması halinde LE'nin minimum değerinin sıfır olduğu görülmektedir. Diğer bir deyişle, robotun hareket denklemleri aşağıdaki eşitliklerde görüldüğü gibi tamamiyle lineer bir hale dönüştürülmektedir.

$$\begin{aligned} & [(-x_1 x_2 m_1 a_{23}^2 - x_1 x_2 m_1 a_{12}^2 + x_1 m_1 a_{23} a_{12}^2 + x_2 a_{12} Z Z_1 + x_2 a_{12} Z Z_2 \\ & + x_2 a_{12} Z Z_3 - a_{23} a_{12} Z Z_1 - a_{23} a_{12} Z Z_2 - a_{23} a_{12} Z Z_3) \ddot{\theta}_1 + (-x_1 x_2 m_1 a_{23}^2 \\ & + x_2 a_{12} Z Z_2 + x_2 a_{12} Z Z_3 - a_{23} a_{12} Z Z_2 - a_{23} a_{12} Z Z_3) \ddot{\theta}_2 \\ & + (x_2 a_{12} Z Z_3 - a_{23} a_{12} Z Z_3) \ddot{\theta}_3] / (a_{12} (x_2 - a_{23})) = \tau_1 \end{aligned} \quad (2.47)$$

$$\begin{aligned} & [(-x_1 x_2 m_1 a_{23}^2 + x_2 a_{12} Z Z_2 + x_2 a_{12} Z Z_3 - a_{23} a_{12} Z Z_2 - a_{23} a_{12} Z Z_3) \ddot{\theta}_1 \\ & + (-x_1 x_2 m_1 a_{23}^2 + x_2 a_{12} Z Z_2 + x_2 a_{12} Z Z_3 - a_{23} a_{12} Z Z_2 - a_{23} a_{12} Z Z_3) \ddot{\theta}_2 \\ & + (x_2 a_{12} Z Z_3 - a_{23} a_{12} Z Z_3) \ddot{\theta}_3] / (a_{12} (x_2 - a_{23})) = \tau_2 \end{aligned} \quad (2.48)$$

$$ZZ_3 (\theta_1 + \theta_2 + \theta_3) = \tau_3$$

(2.49)

Geliştirilen programlar aracılığıyla, ODDTÜ-ASELSAN robotunun ilk üç uzvunun Lineerlik Endeksi de bulunmuş ve bütün dinamik parametreler serbest bırakılarak LE minimize edildiğinde,

$$\begin{aligned} Y_2 = XY_2 = YZ_2 = 0, & & XZ_2 = a_{23} m_3 z_3 \\ XX_2 = a_{23}^2 m_3 + YY_2, & & m_2 = -(a_{23} m_3) / x_2 \\ x_3 = y_3 = XY_3 = XZ_3 = YZ_3 = 0, & & XX_3 = YY_3 \end{aligned} \quad (2.50)$$

esitliklerinin sağlanması durumunda LE'nin sıfır olduğu görülmüştür. Bu durumda hareket denklemleri lineer olup,

$$\begin{aligned} (x_2 m_3 a_{23}^2 + 2x_2 m_3 z_3 S_{22} + x_2 m_3 S_{22}^2 + x_2 YY_2 + x_2 YY_3 + x_2 ZZ_1 \\ - 2m_3 a_{23} z_2 S_{22} - m_3 a_{23} S_{22}^2 \theta_1) / x_2 = \tau_1 \\ (m_3 a_{23}^2 + ZZ_2 + ZZ_3 \ddot{\theta}_2 + ZZ_3 \ddot{\theta}_3) = \tau_2 \\ ZZ_3 (\ddot{\theta}_2 + \ddot{\theta}_3) = \tau_3 \end{aligned} \quad (2.51)$$

esitlikleriyle verilmektedir.

Birçok robot kolun hareket denklemleri de, benzer bir şekilde dinamik boyutları uygun bir biçimde seçerek lineerize edilebilir. Örneğin, Yang ve Tzeng [1986] tarafından "lineerize edilemez" şeklinde nitelendirilen 4 serbestlik dereceli bir robot kol da Lineerlik Endeksi kavramı kullanılarak lineerize edilebilmektedir [Sarrafi, 1993].

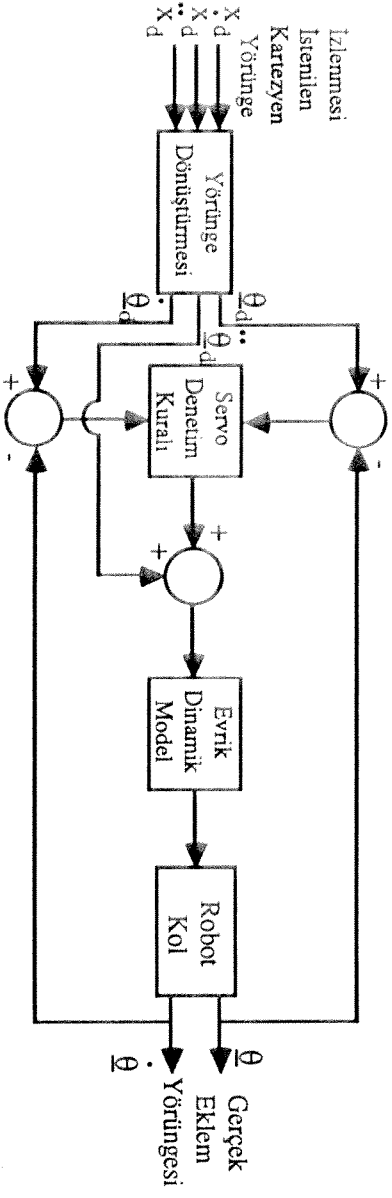
## BÖLÜM 3

### BENZETİM

#### 3.1. Robot Kollarda Denetim

Günümüzde endüstriyel robot kollarda basit denetim kuralları uygulanmaktadır. Her eksenin birbirinden bağımsız olarak denetlenmesi en sık karşılaşılan denetim şeklidir. Bu tür denetim şeklinde genellikle oransal-integral-türevsel (PID) denetim kuralı her eksene ayrı olarak uygulanır. Bu durumda robot kolun bağlaşıklık ve non-lineer dinamiği gözönüne alınmamakta ve bu etkiler kontrol sistemi açısından bozucu etken gibi algılanmaktadır. Denetimin amacı kolun istenilen bir hareketi yapması için gerekli uygulayıcı dönme momentlerini hesaplamak olduğu için çok çeşitli denetim yöntemleri de uygulamak mümkündür. Bunlardan bir diğeri de modele dayalı denetimdir [Paul, R.P., 1982, Balkan, T., 1988] Genelde modele dayalı denetim iki kısımdan oluşur. Birinci kısım robotun dinamik modelini gözönüne alan ve bir açık çevirim oluşturan modele dayalı denetim, ikinci kısım ise hataya dayalı geri beslemeli denetimdir. Modele dayalı kısmın kullanılmasıyla robot dinamiğinin doğrusal olmayan ve bağlaşıklık etkileri yok edilir. Bu amaçla evrik dinamik yöntemi ya da hesaplanmış dönme momenti denilen yöntem kullanılmaktadır. Burada önemli diğer bir nokta ise tüm denetimin eklem koordinatlarında gerçekleştirilmesidir. Bu amaçla istenilen Kartezyen yörünge ilk önce evrik kinematik kullanılarak eklem koordinatlarına geçirilir.

Denetim sisteminin blok şema gösterimi Şekil 3.1'de verilmiştir.



Şekil 3.1. Modele Dayalı Robot Denetim Sistemi.

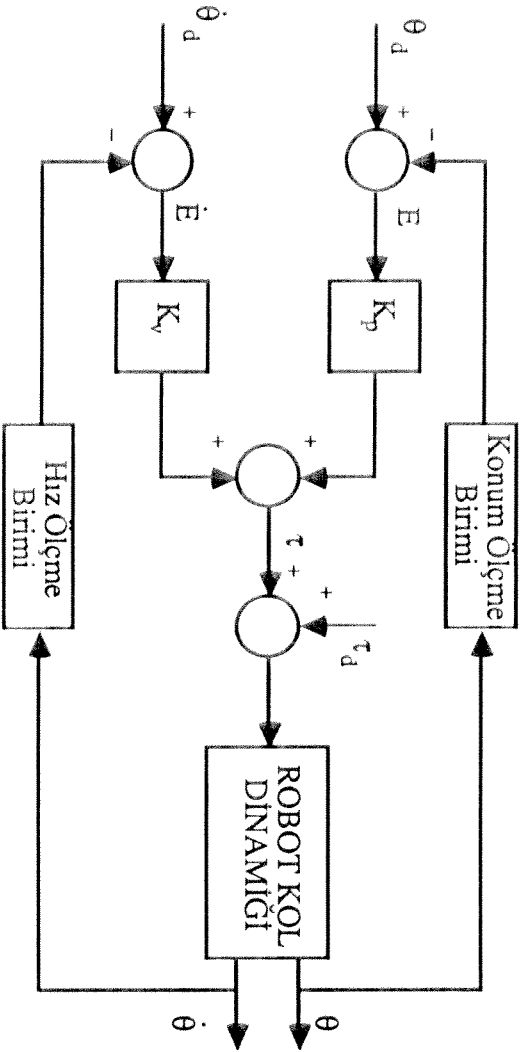


ve hız hatalarına dayalı kapalı çevirim ile istenilen ivmeye dayalı ileri besleme yapılmaktadır.

Hesaplanmış dönme momenti yönteminin en büyük dezavantajı evrik modele dayalı kısımdaki robot parametrelerinin çok iyi elde edilmesini gerektirmesidir. Burada, yerçekimi terimleri, atalet terimleri ve Coriolis gibi doğrusal olmayan terimlerin etkileri önem kazanmaktadır. Robotun yüksek hızlarda hareket etmeyeceği varsayılırsa bu doğrusal olmayan terimleri rahatlıkla atmak mümkündür. Bu terimlerin atılması "on-line" hesaplamaları kolaylaştıracağı için önemlidir. Çünkü yukarıdaki denetim yönteminde yörünge dönüştürülmesi "off-line" yapılmakta, ancak diğer tüm hesaplamalar "on-line" yapılmaktadır. Bu da örnekleme zamanını ve eğer denetim sisteminde bilgisayar kullanılıyorsa, bu bilgisayarın mikroişlemci hızını etkilemektedir.

Diğer taraftan, motor ve sürücülerin de modelleri denetim sistemi içinde yer alır. Ancak, burada da robotun dinamiğinin modellenmesinde olduğu gibi çok dikkatli olmak gerekmektedir. Eğer modele dayalı hatalar çok artarsa bu tür denetimin yararından çok zararı görülür. Bu amaçla özellikle doğru akım motorlarının dönme momenti sabitleri ile dişli kutusundan efektif atalet momentinin belirlenmesi oldukça önemlidir.

Geliştirilen hangi robot daha doğrusal olduğu kuramını incelemek için sadece geri beslemeli servo denetim kuralını uygulamak daha iyidir. Çünkü modele dayalı denetimdeki model hatalarının sistemi daha karışık hale getirmesi mümkündür. Ancak, yerçekimi ve atalet etkilerini incelemek amacıyla modele dayalı bir denetim şekli de uygulanabilir [Craig, J.J., 1986]. Sadece bağımsız PD denetim kurallarından oluşan servo denetim şeklinin bir eksene uygulamasını gösteren blok şema Şekil 3.2'de verilmiştir.



Şekil 3.2. PD-Denetim Sistemi Uygulaması.

olmayan terimlerin karşılaştırılması açısından daha uygundur. Sistemin bilgisayar benzetimini yaparak bu karşılaştırmayı yapmak mümkündür.

### 3.2. Benzetim Yazılımı

Sistemin "lineerliği" artıkça, denetim kuralının performansısı da arttığından, geliştirilen lineerlik endeksinin yarar ve etkilerini gözlemleyebilmek için bir benzetim yazılımı geliştirilmiştir. Benzetimde ilk önce yapılması gereken mevcut robot kolun evrik kinematigi kullanılarak verilen Kartezyen yörüngeyi eklem koordinatlarına dönüştürülmesidir. Tabii ki bu Kartezyen yörüngeyi robot çalışma hacmi içinde kalmalı ve eklem çalışma sınırlarının içinde kalmasına dikkat edilmelidir. Geliştirilen bilgisayar programında bu sınırlar sürekli denetim altında tutulmaktadır. İkinci aşama ise verilen servo kazançları için robot hareket denklemlerinin zamana göre entegre edilmesidir. Burada, en önemli nokta uzun yörüngelerde entegrasyon yönteminin kararlılığıdır. Runge-Kutta entegrasyon yöntemleri bu amaçla sıkça kullanılan yöntemlerdir. Sabit ve değişken basamaklı gibi değişik şekilleri mevcuttur. Yapduğumuz denemeler sonucunda kullandığımız entegrasyon yöntemi olan LSODE'un uzun zamanlı yörüngelerde çok iyi sonuçlar verdiği gözlenmiştir.

Benzetimde kullanılan hareket denklemleri bu proje çerçevesinde geliştirilen program kullanılarak (bkz. Bölüm 2) elde edilmiş ve bir kütüğe yazılmıştır. Benzetim programı ise bir alt yordam olarak bu kütüğe eklem hatalarını vermekte ve robot sürücü sisteminin uygulanması gereken dönme momentlerini hesaplamaktadır. Hesaplanan dönme momentleri ise entegrasyon programına girilmekte ve eklem açısal konum, hız ve ivmeleri elde edilmektedir. Benzetim programı modele dayalı denetim sistemini de kapsayacak şekilde hazırlanmıştır. Böylece, yerçekimi, atalet ve doğrusal olmayan dinamik etkileri incelemek mümkün olacak ve bunların meydana getirdiği açısal konum, hız ve ivme hataları elde edilebilecektir.

Benzetim yazılımında denetim şekli olarak eklemelere, bağımsız PID denetim birimlerinin (independent joint control) uygulanması düşünülmüştür. Bu denetim şekli günümüz endüstriyel robotlarında da uygulanmaktadır. Ancak, PID denetleyicilerinin uygulanmasının asıl amacı bu değildir. Bağımsız denetleyicilerin kullanılmasıyla robotun non-linear ve bağılaşık olan dinamiği gözönüne alınmamaktadır. Böylece sistemin lineerliğinin sistem performansına etkisini daha rahat gözlemlemek mümkün olacaktır. Bilindiği gibi, integral denetim birimi sistemin durağan hatalarını azaltmakta ya da yok etmektedir. Bu nedenle, hatalar ile sistemin lineerliği arasındaki ilişkinin daha belirgin hale

denetleyicisi uygulanmıştır. Diğer taraftan, sistemin denetim performansının belirlenebilmesi için bazı kriterlere gereksinim vardır. Bu amaçla klasik performans indisleri yöntemi seçilmiştir. Amaç robotun eklem koordinatlarında meydana gelen konum ve hız hatalarını en aza indirmek olduğuna göre seçilecek performans indisi (PI) de hataya dayalı bir indisi olmalıdır. Bu amaç için en uygun PI, eklem koordinatlarındaki açısız konum hatalarının karelerinin zamana göre integrali olan ISE performans indisidir. Ancak, robotun birden fazla serbestlik derecesi olduğu için performans indisi aşağıdaki şekilde tanımlanmıştır.

$$PI = \sum_{i=1}^N \int_0^{\infty} e_i^2(t) dt \quad (3.1)$$

Burada,

$N$  = serbestlik derecesi

$e_i$  =  $\theta_{di}$  -  $\theta_i$

$\theta_{di}$  =  $i$ nci eklem değişkeninin istenilen açısız konumu

$\theta_i$  =  $i$ nci eklem değişkeninin gerçek açısız konumu

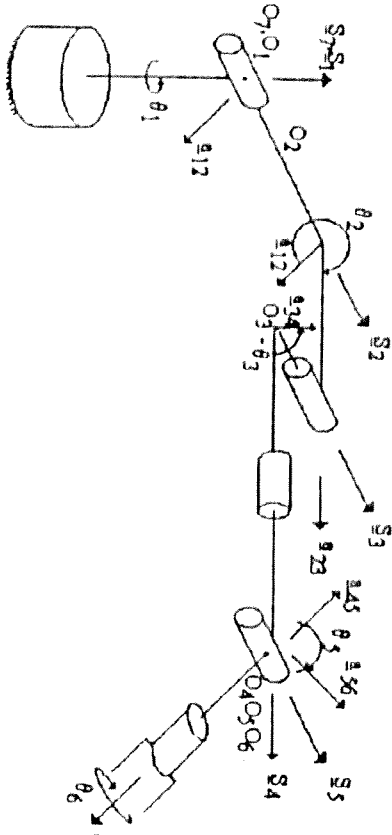
olarak kullanılmıştır. Benzetim programında integralin sıfırdan sonsuza kadar hesaplanması mümkün olamayacağından, sonsuz olarak sistemin cevabının durmayan duruma gelinceye kadar geçen sürenin alınması uygun olacaktır.

PI'nin hesaplanabilmesi için sistemin test girdilerine cevabının bilinmesi gerekir. Bu amaç için en uygun girdi basamak girdi fonksiyonudur. Yani robottan hareketsiz durduğu "home" konumundan, bir anda istenilen eklem konumlarına gitmesi talep edilmektedir. Zaten bu durum uygulamalarda da böyledir. Daha sonra sistemin cevabı benzetim programı ile elde edilmekte ve hataya dayalı PI hesaplanmaktadır. Böylece robot parametrelerinin değiştirilmesiyle, Lineerlik Endeksi (LE) değişmekte ve bunun PI'ne etkisini gözlemek mümkün olmaktadır.

Benzetim programına temel teşkil eden blok şema bir eklem için Şekil 3.2'deki gibidir. Denetim sisteminde diğer eklemelerin etkileri ilgili eklemeye ait denetim sistemi tarafından bozucu etken olarak algılanmaktadır. Bu bozucu etkenler Şekil 3.2'de  $\tau_d$  ile gösterilmiştir. Diğer taraftan, ölçüm birimleri ideal olarak kabul edilmiş ve dinamikleri denetim sistemi içinde gösterilmemiştir. Bu durumda, geri besleme döngülerinde birim geri beslemeler görülmektedir.

1. Kartezyen koordinatlarda yörünge planlaması.
2. Yörünge dönüştürülmesi, yani evrik kinematik.
3. Deneim birimi tarafından robot sistemine girdilerin hesaplanması (dönme momentlerinin bulunması) yani ileri dinamik.
4. Dönme momentleri kullanılarak robot dinamik denklemlerinin integrasyonu.
5. PI ve LE'nin hesaplanması.

Bu program kullanılarak, Şekil 3.3'de kinematik modeli gösterilen ODTÜ-ASELSAN robotunun ilk üç serbestlik derecesi için benzetim yapılmıştır. Zaten deneylerde de ancak ilk üç serbestlik derecesi için sonuçlar elde edilebildiğinden ve bilekteki üç serbestlik derecesinde de önemli gelişmeler beklenmediğinden, bu uygulamanın kısıtları olmayacağı görüşüne varılmıştır.



Şekil 3.3. ODTÜ-ASELSAN Robotunun Kinematik Modeli.

Benzetim programında, ilk üç eklem için sırasıyla  $30^\circ$ ,  $45^\circ$  ve  $60^\circ$  basamak girildi fonksiyonları seçilmiştir. Diğer taraftan, deneimde ilk üç eklem için sırasıyla 10, 10, 10 konum ve 1, 1, 1 hız servo kazançları kullanılmıştır. Bu kazançların kullanılmadığı amaç sistemin basamak cevabının klasik salınımlı bir cevap olmasını sağlamaktır. Şekil 3.4'de robotun Tablo 3.1'de gösterilen dinamik parametreler ve yukarıdaki girdi büyüklükleri ve servo kazançları için cevabı verilmiştir.

Tablo 3.1. ODTÜ-ASELSAN Robotunun İlk Üç Uzunun Dinamik Parametreleri [Başçuhadar, 1989].

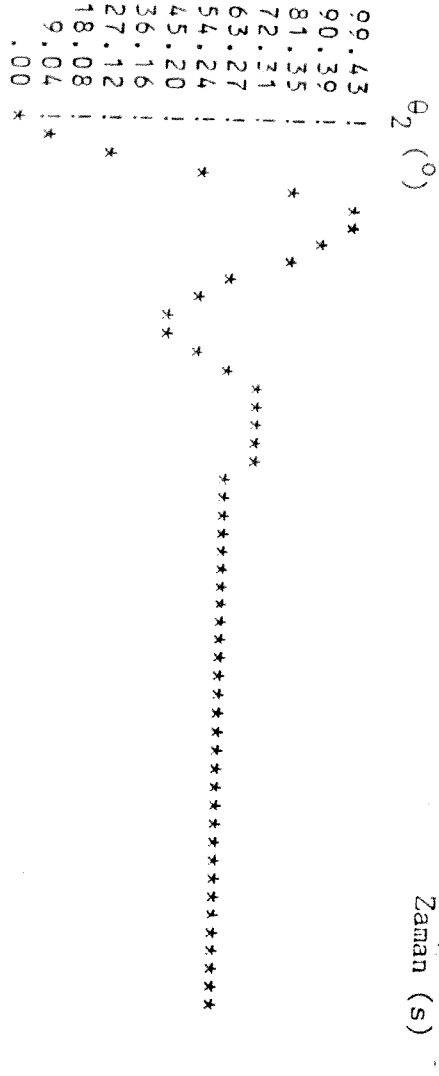
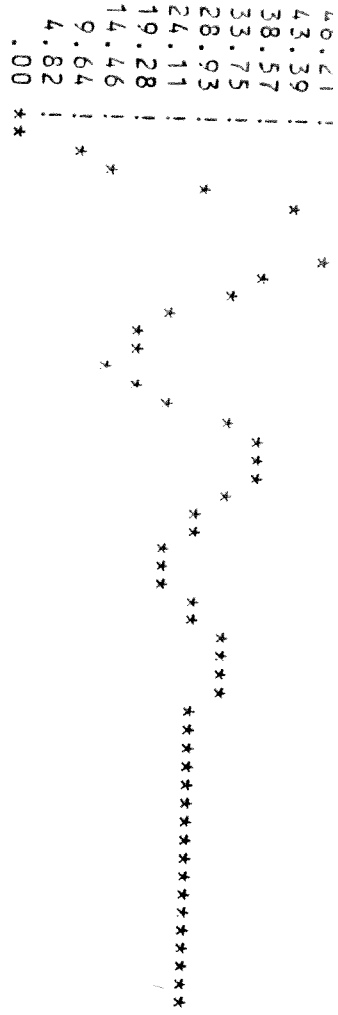
i	$x_i$ (mm)	$y_i$ (mm)	$z_i$ (mm)	$m_i$ (kg)	$XX_i$ $XY_i$ (kg.mm <sup>2</sup> )	$YY_i$ $YZ_i$ (kg.mm <sup>2</sup> )	$ZZ_i$ $XZ_i$ (kg.mm <sup>2</sup> )
1	- 43.004	- 45.763	- 15.138	5.146	72889.35 15855.13	40306.13 - 1420.24	69859.09 1934.07
2	- 40.105	0.54	60.94	4.327	43147.14 172.29	141647.0 - 75.70	102609.79 - 17018.70
3	0.74	- 15.598	7.653	3.296	46663.89 - 723.64	5908.76 - 222.59	45809.70 - 75.23

$[B_i]$  : z ve x eksenleri sırasıyla  $S_i$  ve  $a_{ij}$  vektörlerine paralel olan ve orijini  $O_i$  'de bulunan eksen takımı.

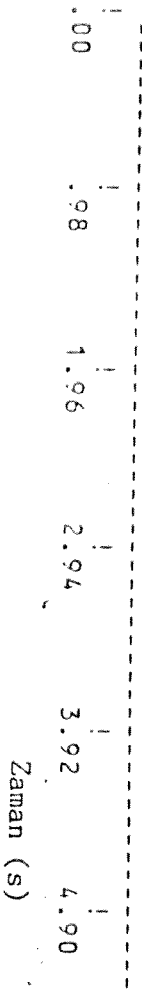
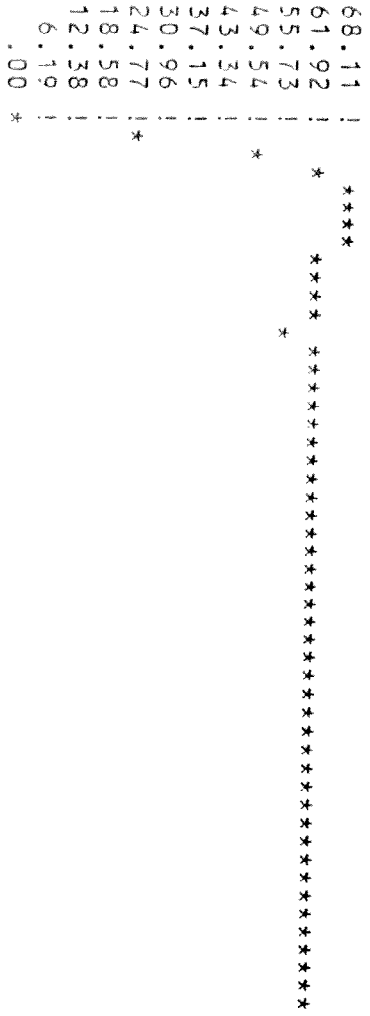
$x_i, y_i, z_i$  : i'nci uzunun ağırlık merkezinin  $[B_i]$  eksen takımındaki koordinatları.

$XX_i, XY_i, YY_i,$

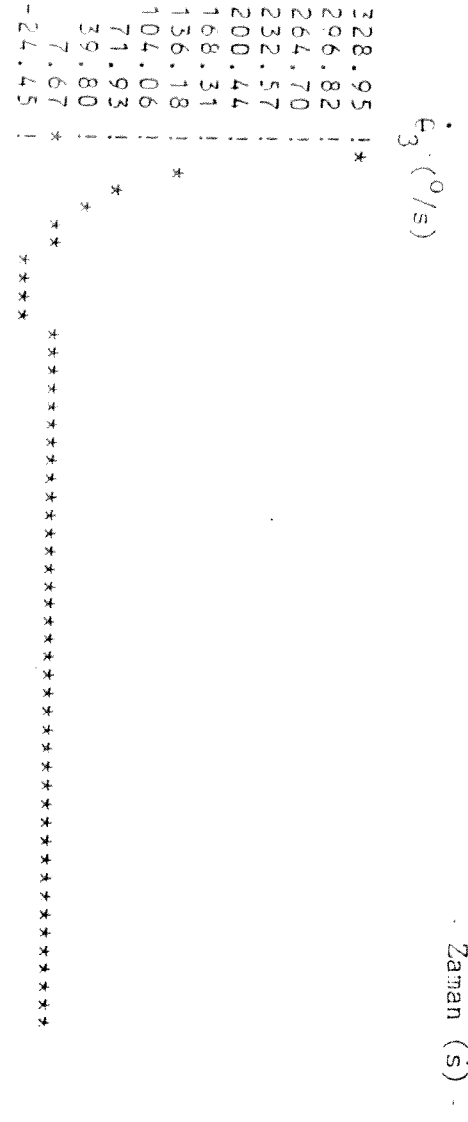
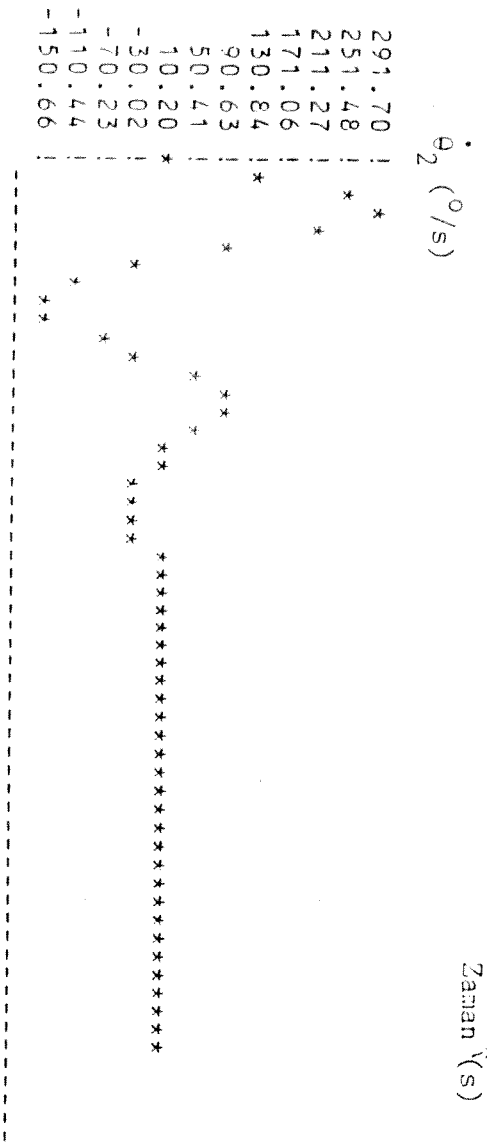
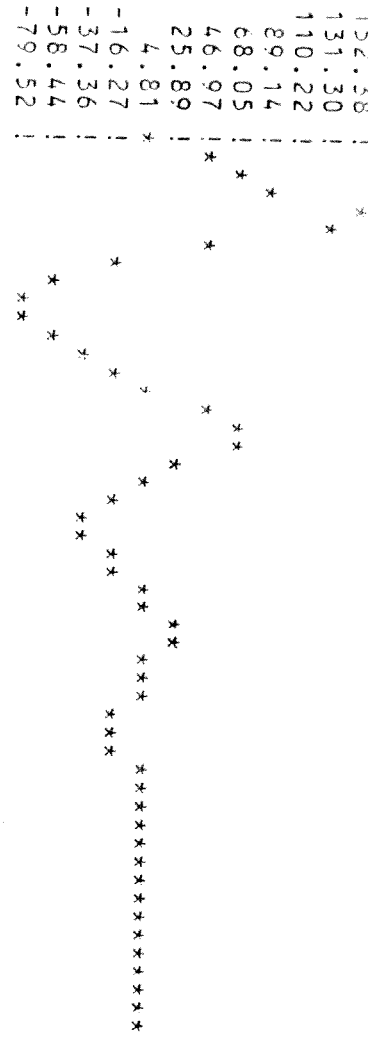
$YZ_i, ZZ_i, XZ_i$  : i'nci uzunun  $[B_i]$  sisteminde ifade edilmiş atalet tensörünün elemanları, yani sırasıyla  $I_{xx}, I_{xy}, I_{yy}, I_{yz}, I_{zz}$  ve  $I_{xz}$ .



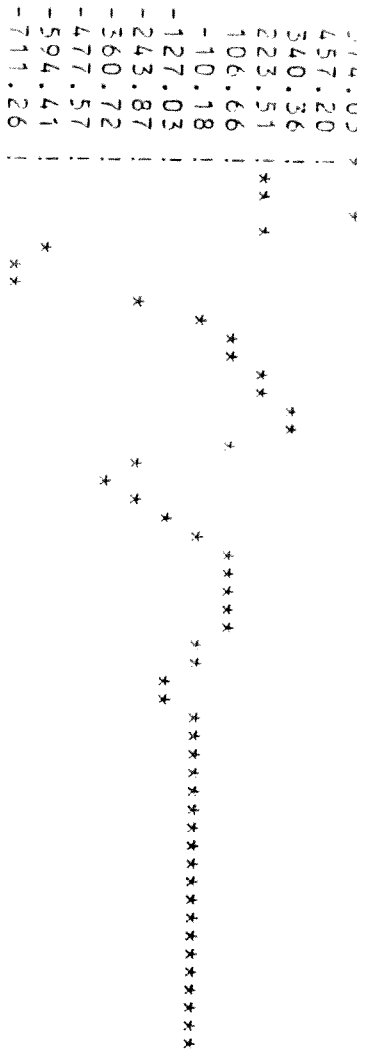
$\theta_3$  (°)



Şekil 3.4.a. Benzetim Sonuçları (Açısal Konumlar).

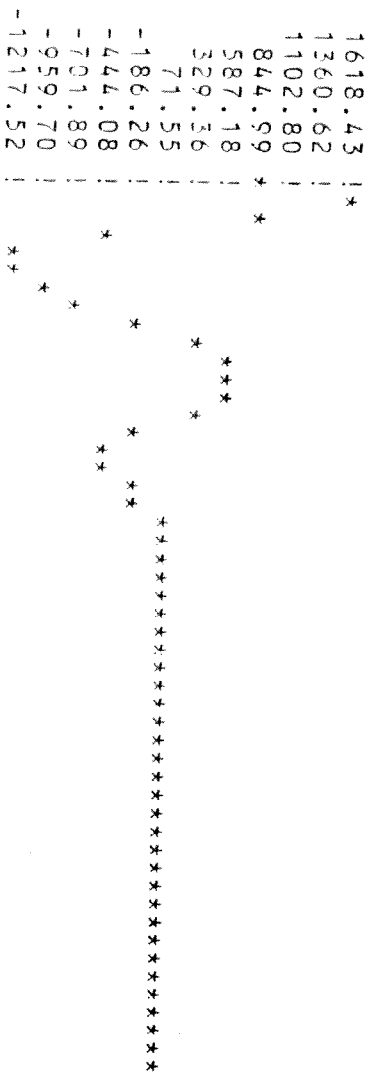


Şekil 3.4.b. Benzetim Sonuçları (Açısal Hızlar).



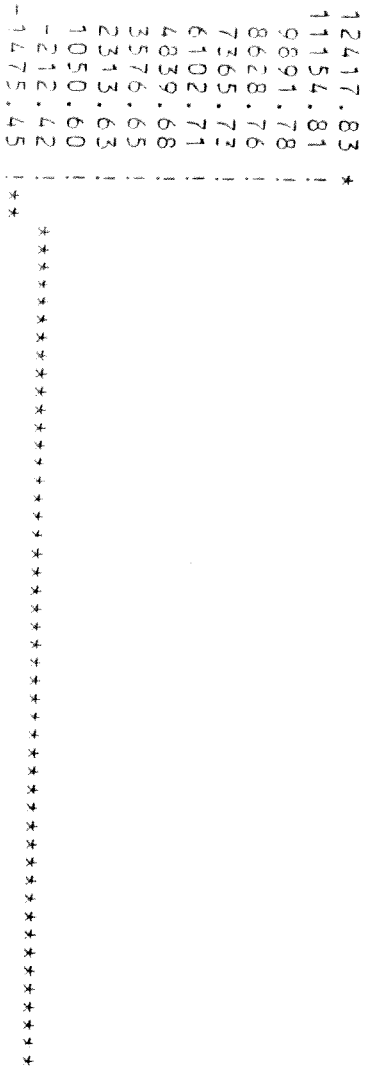
$\theta_2$  ( $^{\circ}/s^2$ )

Zaman (s)



$\theta_3$  ( $^{\circ}/s^2$ )

Zaman (s)

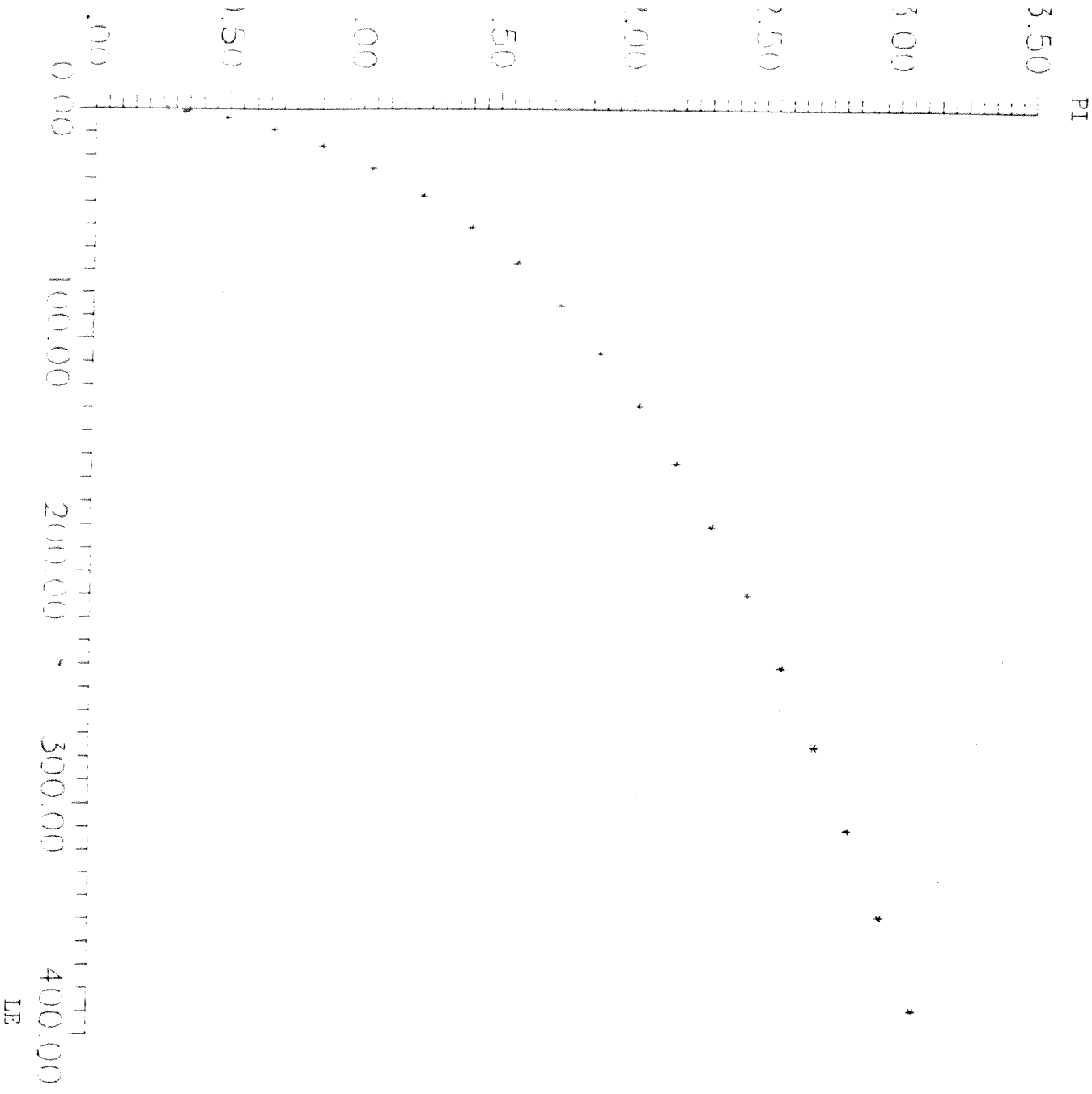


Zaman (s)

Şekil 3.4.c. Benzetim Sonuçları (Açısal İvmeler).



LE arasındaki ilişkiyi görebilmek için, 3. uzvun ağırlığı 0 ile 10 kg. arasında yarımşar kilo aralıklarla değiştirilmiş, ve her durumda PI ve LE hesaplanarak, Şekil 3.5'te verilen grafik elde edilmiştir. Grafikte de görüldüğü gibi LE azaldıkça PI değeri de azalmaktadır, yani LE azaldıkça robot daha lineer olmakta ve dolayısıyla denetim performansı artmaktadır.



Şekil 3.5. PI-LE Grafiği.

yönteminin yakınsamasıdır. Bunun sebebi, oldukça non-lineer ve bağlaşıklık diferensiyel denklemlerin çözülmesi gereğidir. Yapılan denemeler sonucunda LSODE isimli bir integrasyon paketi, bir çok modifikasyondan sonra en uygun paket olarak görülmüştür. Diğer bir problem de yazılım için seçilen FORTRAN dili için kullanılan derleyici ile ilgilidir. Projenin diğer aşamalarında kullanılan REDUCE paketi FORTRAN çıktısı verdiği ve integrasyon paketi yine FORTRAN 'da yazılmış olduğu için derleyici olarak MSFORTRAN kullanılmıştır. Ancak, bu derleyicinin bellek yetersizliği nedeniyle, benzetim programını bir çok alt yordamlara bölerek derlemek mümkün olmuştur. Programın çalışma süresi çok uzun olduğundan Math Coprocessor ile derlenmesi uygun görülmüştür. Bu durumda, ancak 80x87 matematik işlemcisi ya da emülatör bulunan sistemlerde çalıştırılması mümkün olmaktadır.

## BÖLÜM 4

### ODTÜ-ASELSAN ROBOTUNUN DİNAMİK PARAMETRELERİNİN DENEYSSEL OLARAK BELİRLENMESİ

#### 4.1. Yöntem

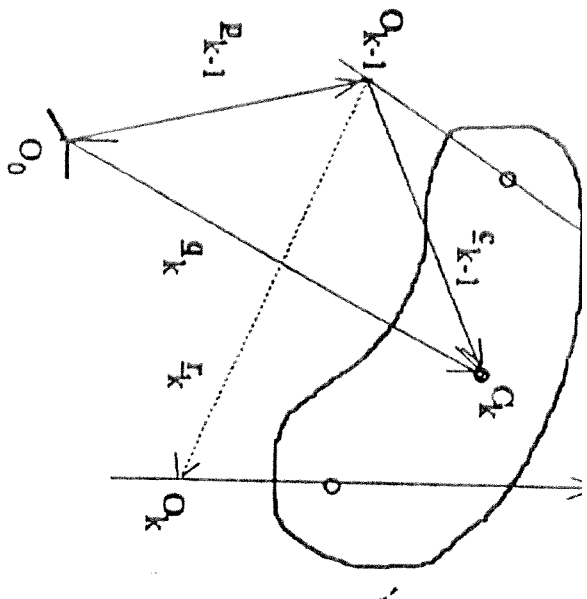
Robot denetiminde söz konusu robotun dinamik parametrelerinin bilinmesi çok önemlidir. Her ne kadar tasarım sırasında sadece kinematik özellikler gözönüne alınmakta ve dinamik parametreler tamamen serbest bırakılmakta ise de iş hassas hareket denetimine gelince bu parametrelere mutlaka ihtiyaç vardır.

Bir robotun dinamik parametrelerin belirlenebilmesi için çeşitli yöntemler mevcuttur. Bunlardan bir tanesi mevcut robotu söküp, uzuvları tartarak ve torsiyonal ya da normal sarkaçlar kullanarak gerekli ölçümleri yapmaktır. Ancak, bu yöntem temel olmakla birlikte hem zaman alıcı hem de robotun demontesi gerektiği için oldukça zordur. Diğer bir yöntem ise bilgisayar destekli modelleme programlarının kullanılmasıdır. Ancak, bu yöntemle de her uzvun tam olarak modellenmesi mümkün olmayacağı için hassas sonuçlar elde etmek mümkün değildir.

Diğer yöntemler, robotun dinamik denklemleri üzerine dayalı tahmin yöntemleridir. Bu yöntemlerde dinamik parametreler robotun uzuvlarının hareketlerinden bulunur. Bu parametrelerin dinamik modelleme ve/veya denetimde kullanılacağı düşünülürse, robot dinamiğini etkileyen parametrelerin tahmini yeterli olmaktadır.

Bu araştırmada, dinamik parametrelerin bulunmasında Newton-Euler tahmin yöntemi kullanılmıştır [Atkeson, G.C., Chae, H.A. ve Hollerbach, J.M., 1986]. Yöntemin uygulandığı robot ise alın dönel eklemleri olan ODTÜ-ASELSAN robotudur.

Newton-Euler dinamik formülasyonunda, dinamik parametreler olan, kütle, kütle merkezi ve atalet momentlerinin ifadeleri diğer parametrelere göre lineer olarak elde edilebilmektedir. Şekil 4.1'de manipülatörün  $k$  uzvu  $k$ 'nci ekleme sabitlenmiş  $O_{k-1}$  koordinat sistemi ile birlikte gösterilmiştir.  $P_{k-1}$  vektörü ise  $O_{k-1}$  in global koordinat sisteminin orijini olan  $O_0$ 'a göre konum vektörüdür. Kütle merkezindeki  $C_k$  koordinat sistemi ise temel atalet eksen sistemini göstermektedir.



Şekil 4.1. Robot Kolun Bir Uzvu Üzerinde Lokal Koordinatların Gösterilmesi.

Kütle merkezinin  $O_{k-1}$  ve  $O_0$  'a göre göreceli konumu ise  $c_{k-1}$  ve  $q_k$  vektörleriyle gösterilmiştir.

Newton-Euler yöntemi kullanılarak uzvun hareketi ile dinamik parametreler arasındaki ilişki aşağıdaki şekilde ifade edilebilir.

$$F_k = F_{kk} + m_k g = m_k \ddot{q}_k \quad (4.1)$$

$$M_k = M_{kk} - c_{k-1} \times F_{kk} = J_{Ck} \alpha_k + \omega_k \times (J_{Ck} \omega_k) \quad (4.2)$$

Burada,

$F_k$  = k uzvuna etki eden net kuvvet

$F_{kj}$  = sadece j uzvunun hareketinden k uzvunda oluşan kuvvet

$m_k$  = k uzvunun kütleesi

$g$  = yerçekimi vektörü

$M_k$  = k uzvunun kütle merkezine etrafındaki net dönme momenti

$M_{kj}$  = sadece j uzvunun hareketinden dolayı k eklemindeki dönme momenti

$J_{Ck}$  = kütle merkezine göre atalet momenti

$\alpha_k$  = açısal ivme vektörü

$\omega_k$  = açısal hız vektörü

olarak tanımlanmıştır.

ise aşağıdaki şekilde yazılabilir:

$$\ddot{\mathbf{q}}_k = \ddot{\mathbf{p}}_{k-1} + \alpha_k \times \mathbf{c}_{k-1} + \omega_k \times (\omega_k \times \mathbf{c}_{k-1}) \quad (4.3)$$

Eğer (1) ve (2) nolü denklemler birleştirilirse, atalet tensörü  $k$  uzvunun kütle merkezi yerine  $k$  eklemine göre şu şekilde yazılabilir:

$$\mathbf{J}_k = \mathbf{J}_{Ck} + m_k [(\mathbf{c}_{k-1}^T \mathbf{c}_{k-1}) \mathbf{I} - (\mathbf{c}_{k-1} \mathbf{c}_{k-1}^T)] \quad (4.4)$$

Böylece,

$$\mathbf{F}_{kk} = m_k (\ddot{\mathbf{p}}_{k-1} - \mathbf{g}) + \alpha_k \times m_k \mathbf{c}_{k-1} + \omega_k \times (\omega_k \times m_k \mathbf{c}_{k-1}) \quad (4.5)$$

$$\mathbf{M}_{kk} = \ddot{\mathbf{p}}_{k-1} \times m_k (\ddot{\mathbf{p}}_{k-1} - \mathbf{g}) + \mathbf{J}_k \alpha_k + \omega_k \times (\mathbf{J}_k \omega_k) \quad (4.6)$$

veya daha basit olarak

$$\mathbf{w}_{kk} = \mathbf{A}_k \Phi_k \quad (4.7)$$

Burada,

$\mathbf{w}_{kk}$  = sadece  $k$  uzvunun hareketünden dolayı  $k$  eklemindeki kuvvet ve dönme momentlerinden oluşan altı elemanlı vektör,

$\mathbf{A}_k$  = bir  $6 \times 10$  matris,

$\Phi_k$  = bilinmeyen 10 atalet değişkenini içeren vektör.

$$\Phi_k = [ m_k \ m_k \ \mathbf{c}_k \ \mathbf{J}_{xxk} \ \mathbf{J}_{yyk} \ \mathbf{J}_{zkk} \ \mathbf{J}_{yzk} \ \mathbf{J}_{zyk} \ \mathbf{J}_{xzk} \ \mathbf{J}_{zxk} \ \mathbf{J}_{zzk} ]^T \quad (4.8)$$

$k$  uzvunun dinamik parametrelerini tahmin edebilmek için,  $k$  eklemdeki toplam kuvvet ve dönme momenti vektörü  $k$  ekleminden  $j$  uzvu ile ilgili tüm  $\mathbf{w}_{kj}$  vektörleri ile toplanmalıdır.

$$\mathbf{w}_k = \sum_{j=k}^6 \mathbf{w}_{kj} \quad (4.9)$$

$$[F_{k,k+1} \ M_{k,k+1}]^T = \begin{bmatrix} C_{k-1,k} & 0 \\ (r_k \cdot X) \cdot C_{k-1,k} & C_{k-1,k} \end{bmatrix} [F_{k,k+1} \ M_{k,k+1}]^T \quad (4.10)$$

$$w_{k,k+1} = T_k \ w_{k,k+1,k+1} \quad (4.11)$$

Burada,

$C_{k-1,k}$  =  $k+1$  uzun koordinat sistemini  $k$  uzun koordinat sistemine çeviren rotasyon matrisi

$r_k$  =  $O_{k-1}$ 'den  $O_k$ 'ya bir vektör

$T_k$  = kuvvet ve dönme momentlerinin transformasyonunu sağlayan bir matris.

Daha sonra  $k$  eklemindeki kuvvet ve dönme momentlerinin  $j$  uzvuna olan etkilerini de karabilmek için

$$w_{kj} = T_k \ T_{k+1} \ \dots \ T_j \ w_{ij} = U_{kj} \ \Phi_k \quad (4.12)$$

denklemini yazılır.

Burada,

$$U_{kj} = T_k \ T_{k+1} \ \dots \ T_j \ A_j$$

$$U_{kk} = A_k$$

olarak tanımlanmıştır.

Eğer daha basit bir şekilde ifade etmek gerekirse

$$\begin{bmatrix} w_1 \\ w_2 \\ w_3 \\ w_4 \\ w_5 \\ w_6 \end{bmatrix} = \begin{bmatrix} U_{11} & U_{12} & U_{13} & U_{14} & U_{15} & U_{16} \\ 0 & U_{22} & U_{23} & U_{24} & U_{25} & U_{26} \\ 0 & 0 & U_{33} & U_{34} & U_{35} & U_{36} \\ 0 & 0 & 0 & U_{44} & U_{451} & U_{46} \\ 0 & 0 & 0 & 0 & U_{55} & U_{56} \\ 0 & 0 & 0 & 0 & 0 & U_{66} \end{bmatrix} \begin{bmatrix} \Phi_1 \\ \Phi_2 \\ \Phi_3 \\ \Phi_4 \\ \Phi_5 \\ \Phi_6 \end{bmatrix} \quad (4.13)$$

tarafa her eklemdaki kuvvet ve dönme momentlerini içermektedir. Ancak, sadece her eklemdaki dönme momentlerinin ölçülmesi mümkün olduğundan, her eklemda kuvvet ve dönme momentlerini içeren vektör dönme eksenine indirgenmelidir. Bu, (13) nolu denklemi:

$$\tau = K \Psi \quad (4.14)$$

haline getirir.

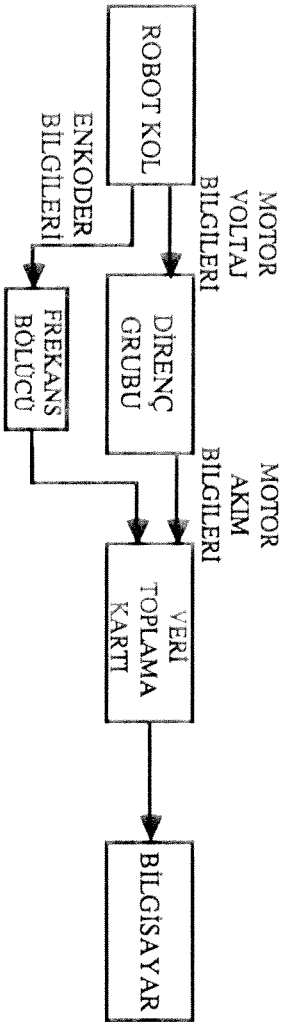
Burada eğer denklem (14)'teki ilgili girdi 0 harici bir değer olursa

$\tau_k = [0 \ 0 \ 0 \ 0 \ 0 \ 1]$ .  $w_k$  k uzvunun eklem dönme momenti,

$\Psi_k = \Phi_k$  ve  $K_{kj} = [0 \ 0 \ 0 \ 0 \ 0 \ 1]$ .  $U_{ki}$  olur.

#### 4.2. DeneY Düzenegi

Yukarıda verilen yöntemin uygulanabilmesi için Şekil 4.2 'de verilen deneY düzenegi kurulmuştur.



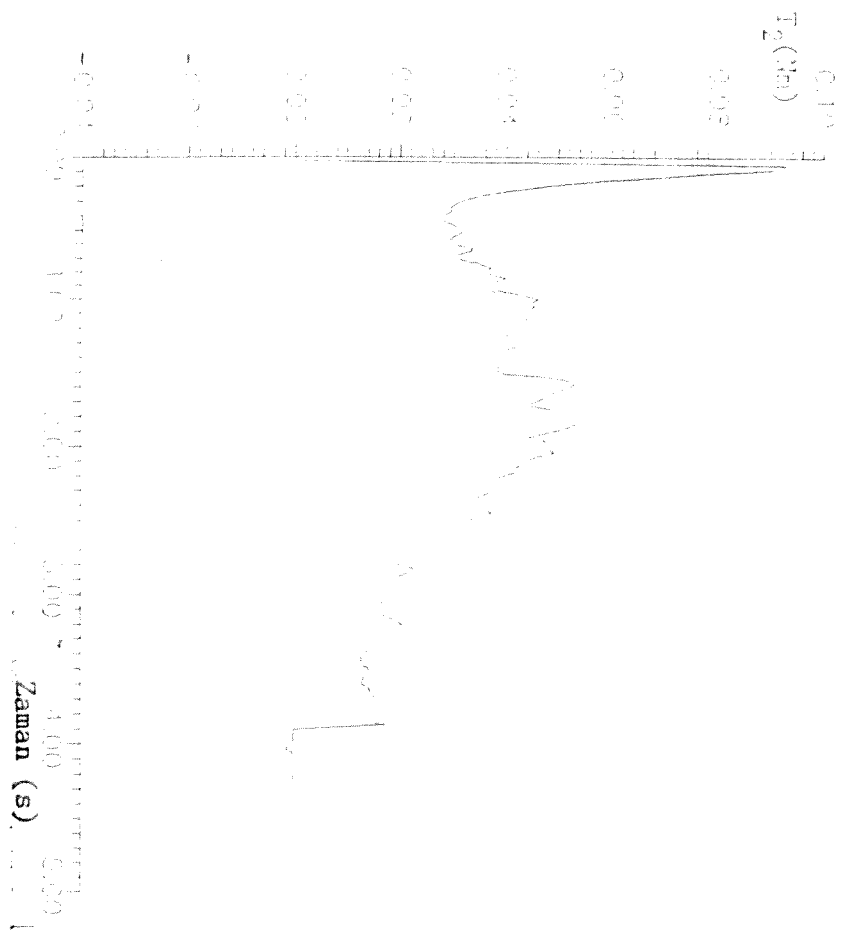
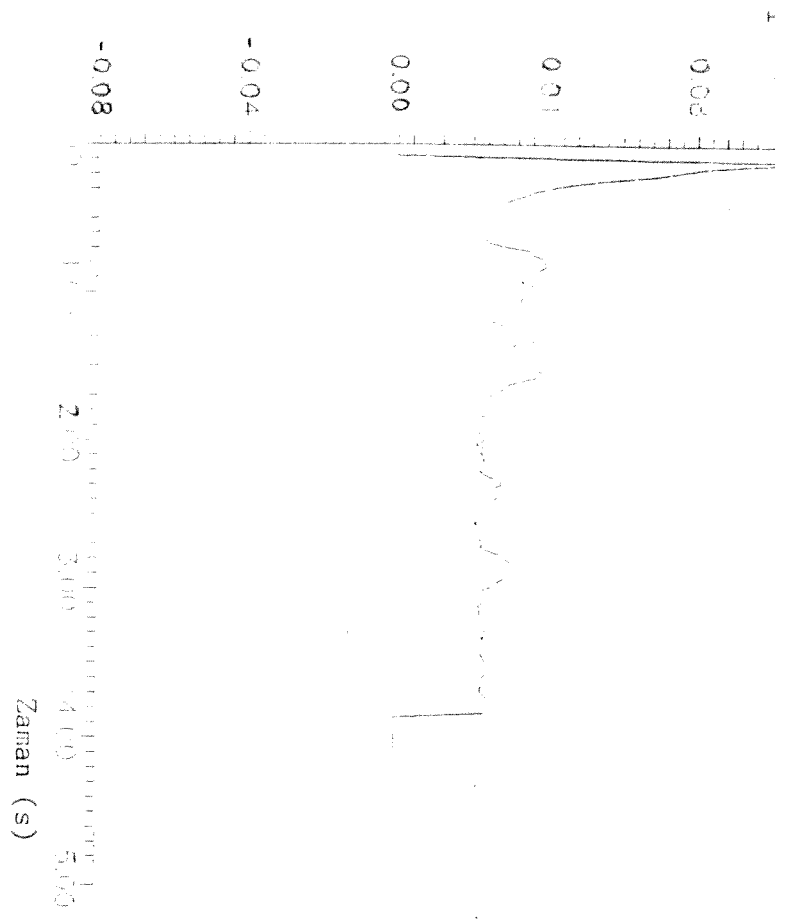
Şekil 4.2. Dinamik Parametrelerin Tahmini İçin Hazırlanan DeneY Düzenegi.

Yapılan incelemeler sonucunda ODTÜ-ASELSAN robotunun motorları üzerine orijinal olarak monte edilmiş sayısal enkoderlerinin bir kısmının tamamen, bir kısmının da kısmen arızalı olduğu tespit edilmiştir. Bu durumda, ilk dört eklemin enkoderlerinden gelen sadece indeks sinyallerinin kullanılması mümkün olmuştur. İndeks sinyali motorun mil çıkışının her 360° dönüşünde bir darbe yollamaktadır. Ancak ekleme iletilen hareket dişli kutusundan geçtiği için enkoder açışal hızına göre çok daha düşüktür. Enkoderlerin kullanılması ile eklem açışal konum, hız ve ivmelerinin sayısal olarak tesbiti mümkündür. DeneY düzenegi olarak bir EPSON 8088 işlemcili PC ile veri toplama birimi olarak PC-718 Data Acquisition kartı kullanılmıştır. Enkoderlerden gelen darbeler veri toplama kartı üzerinden bilgisayara aktarılmış, ancak gelen darbelerin sıklığının fazlalığı yüzünden veri

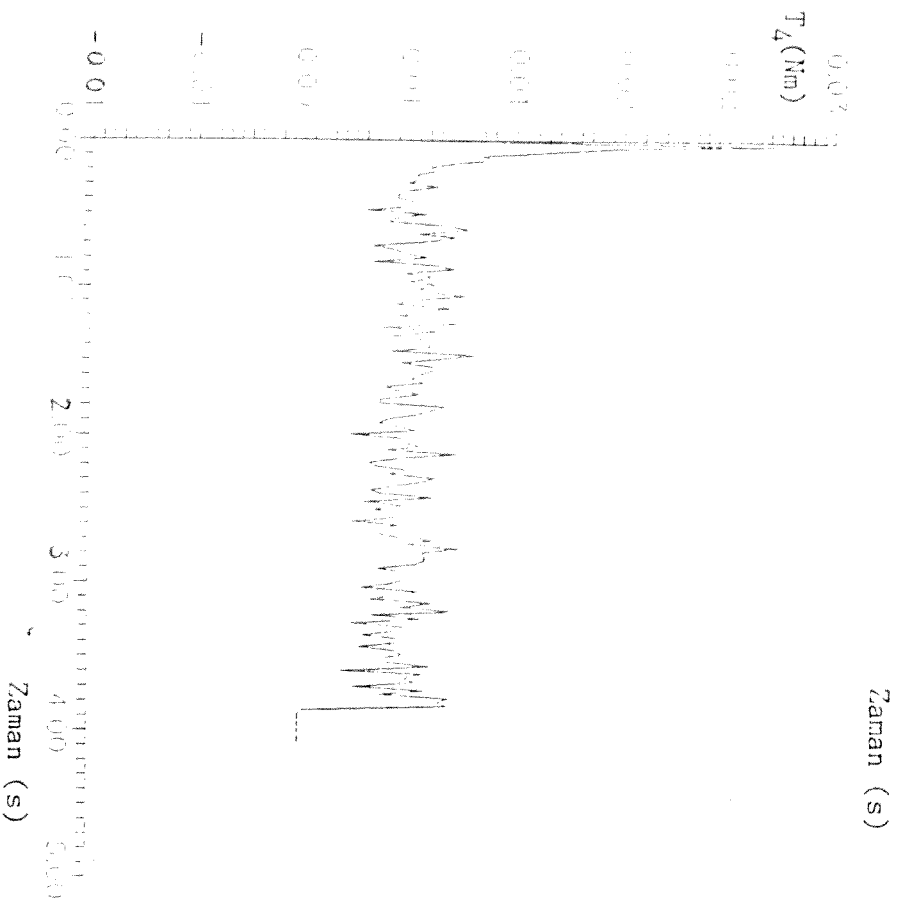
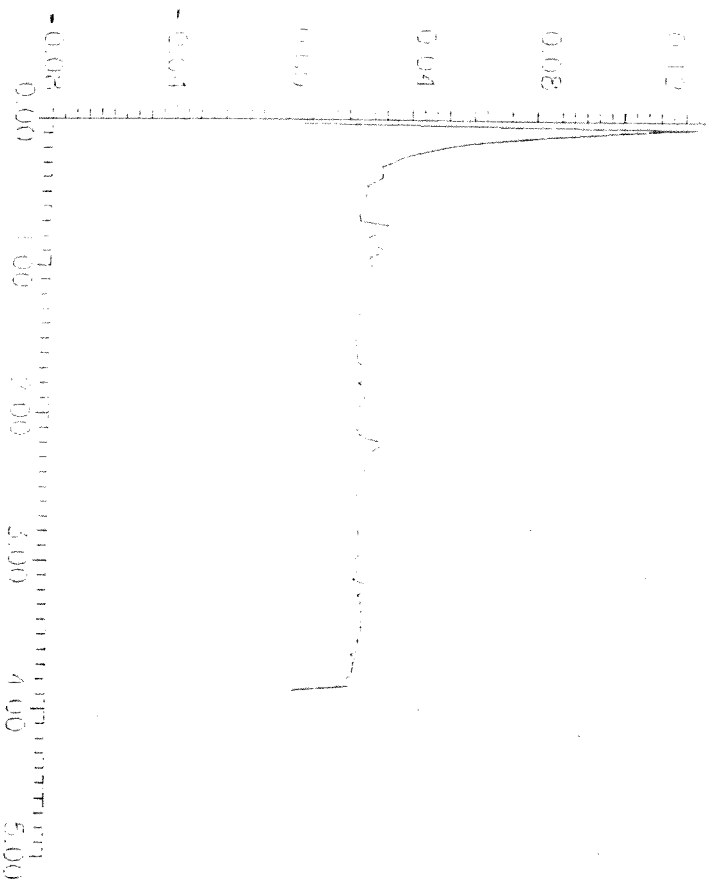
DOYUCU OLARAK KULLANILMIŞ VE SAYISAL BİLGİLER BİLGİSAYARA AKTARILMIŞTIR. Diğere taraftan, açışsal konum, hız ve ivme bilgilerinin yanısıra, dinamik parametrelerin belirlenmesi için motorların açılırları ölçüldüğü anda sağladığı dönme momentlerine gereksinim vardır. Bu amaçla, motor besleme hatları üzerine 4.7  $\Omega$  bir direnç bağlanıp, bu direncin üzerindeki potansiyel düşmesinden motor sarımlarından geçen akım belirlenmiştir. Motorların dönme momenti ve voltaj sabitleri üretici firma tarafından verildiği için deneysel olarak bulunan akım değerlerinden dönme momentleri hesaplanmıştır. Ancak, deney sırasında robot eklem ve aktarma organlarında görülen aşırı sürtünme zaman zaman uzuvların hareketsiz kalmasına neden olmuştur. Bu amaçla, değişik besleme voltajlarında deneyler gerçekleştirilmiş ve sürtünmenin etkilerinin en az gözleendiği durumlar gözönüne alınmıştır. Besleme voltajının yüksek seçilmesi, sürtünme sorununu azaltmakta ancak bu kez de uzuvların hızlı hareketi nedeniyle yeterli kadar veri toplanamamaktadır. Diğere taraftan, robotun "home" konumunun kesin olarak saptanması yani ikinci uzvun tam yatay, üçüncü uzvun da buna göre tam 90° açıda bulunmasını sağlamak amacıyla basit ancak hassas aparatlar yapılmıştır. Her deney sırasında robot ilk önce "home" konuma getirilmiştir. "Home" konumda tüm açılar Denavit-Hartenberg sistemine göre 0° dir. Dirençler üzerindeki potansiyel düşmeleri kartın analog girişine bağlanmış ve böylece dört motorun sarımlarından geçen akım zamanın fonksiyonu olarak bilgisayara aktarılmıştır. Besleme voltajı 12 V olduğunda elde edilen sonuçlar grafiksel olarak Şekil 4.3 'de verilmiştir.

Deneyler sırasında, uzuvların hareketi süresince geçen zaman bir kronometre yardımıyla belirlenmiştir. ODTÜ-ASELSAN robotunun denetim birimi olmadığı için uzuvları hareket ettiren motorlara ancak sabit voltaj verilebilmiş ve deney bu şartlar altında gerçekleştirilmiştir. Akım grafiklerinde görülen osilasyonlar motorların DC motor olmasından kaynaklanmaktadır. Ancak, bu yüksek frekanslı sinyallerin filtresi gerekli görülmemiştir. Sonuçların, yapılan birçok deneyin ortalaması olarak elde edilmesi güvenilirliği artıracaktır. Bu da bize robotun dinamik parametrelerini ortalama olarak verecektir. İlk dört eklemde ölçümler yapıldığı için ancak ilk üç uzvun dinamik parametrelerini bulmak mümkündür.





Şekil 4.3.a. Motor Torklarının Zamana Göre Değişimi (1. ve 2. Eksen).



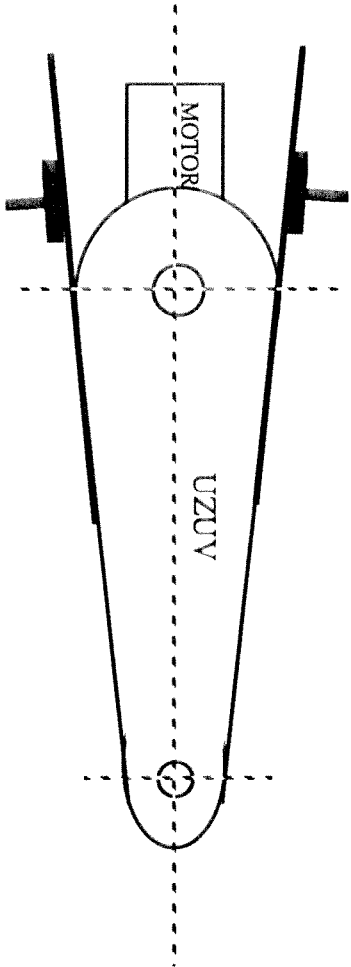
Şekil 4.3.b. Motor Torklarının Zamana Göre Değişimi (3. ve 4. Eksen).

bilgisayar programı hazırlanmış ve deney sonuçları bu programa girdi olarak verilmiştir. Ancak, deneyler sırasında ODTÜ-ASELSAN robotunun motorlarına robotun denetimini olmadığı için ancak sabit voltaj uygulanmış olması eklem açısıal hızlarının önemli bir değişiklik göstermemesine sebep olmuştur. Bu durumda, dinamik parametrelerin hesaplanma yöntemindeki tüm açısal ivmeler sıfıra yaklaşımaktadır. Eklem açısal ivmelerinin sıfır olması durumunda dinamik parametrelerin bulunması tamamen doğrusal olmayan terimlere dayanmakta, bu da yöntemin başarısız olmasına neden olmaktadır. Bu sorunların aşılmasına rağmen elde edilen sonuçlar, robotun daha önce başka yöntemlerle elde edilmiş dinamik parametreleri ile karşılaştırıldığında olumlu sayılabilecek gibi değildir (Örneğin, bazı uzun ağırlıkları ekli çıkarmıştır). Deneyler sırasında yalnızca eklem açısal konumlarının ölçülebilmesi nedeniyle eklem açısal hızlarındaki değişiklikler saptanamamıştır. Eğer, konumların yanısıra açısal hız ve açısal ivmeler de ölçülebilseydi yöntem daha tutarlı sonuçlar verebilirdi.

## BÖLÜM 5

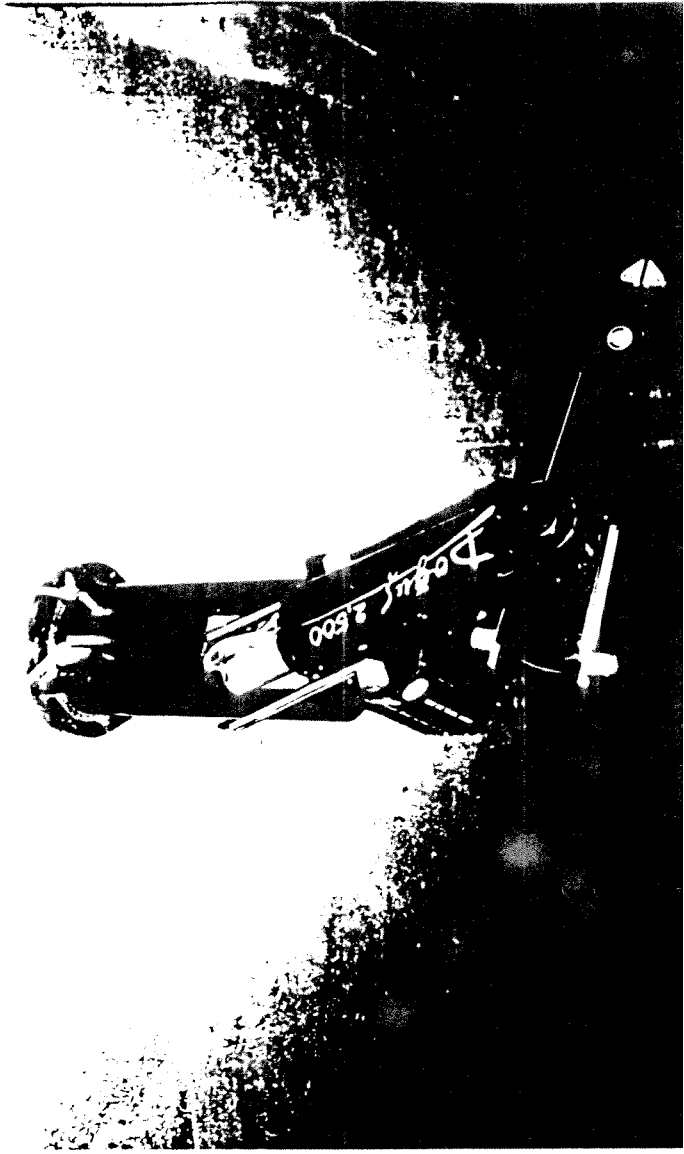
### ODTÜ-ASELSAN ROBOTUNUN DİNAMİK PARAMETRELERİNİN BİR APARATLA DEĞİŞTİRİLMESİ

ODTÜ-ASELSAN robotunun 2. ve 3. uzuvlarının kütle merkezlerinin yeri, ağırlıkları ve dolayısıyla alet momentlerinin değiştirilebilmesi için bir aparat hazırlanmıştır. Bunun için en uygun tasarım olarak raylı bir sistem ve üzerinde ağırlığı değişebilen kayar bir kısım düşünülmüştür. Şekil 5.1'de bir uzuv ve üzerine uzva göre simetrik olarak yerleştirilen ray-kütle sistemi şematik olarak gösterilmektedir.



Şekil 5.1. Uzuv ve Aparatın Şematik Gösterimi.

Rayların üstüne hazırlanan skala yardımı ile her iki kütle için aynı konuma getirilmesi sağlanmış ve simetrisinin bozulması önlenmiştir. Değişik ağırlıklarda hazırlanan bu kayar silindirik kütleler sayesinde dinamik parametrelerin değiştirilmesi mümkündür. Ancak, robotun denetimi olmadığı için dinamik parametrelerinin denetim sisteminin performansı üzerindeki etkilerini gözlemek mümkün olmamıştır. Şekil 5.2'de ODTÜ-ASELSAN robotunun aparatın montajından sonraki fotoğrafı görülmektedir.



Şekil 5.2. ODTÜ-ASELSAN Robotunun deęiřtirme Aparatı ile Fotoęrafı.

## BÖLÜM 6

### SONUÇ

Bu çalışmada herhangi bir robotun hareket denklemlerini kapalı formda türetebilen bir bilgisayar programı geliştirilmiştir. Programın CPU zamanı ve bellek gereksinimlerini azaltabilmek amacıyla LD notasyonu ve Gautier [1990] tarafından geliştirilen gruplamalar kullanılmıştır. LD notasyonu kinematik uygulamalar için geliştirilmiş olup, bu notasyonu hareket denklemlerinin çıkarımında kullanabilmek için LD terimlerinin türevlerini kapalı formda veren yeni formüller türetilmiştir. Bu formüller, robot ve uzaysal mekanizmaların kinematik ve dinamik analizlerinde başka kullanımları da bulabilir.

Geliştirilen lineerlik endeksi kavramı bir robotun lineerlik derecesinin sayısal bir ölçütü olup, yazarların bilgisi dahilinde literatürde buna benzer başka bir ölçüt bulunmamaktadır. Lineerlik endeksi kullanılarak, benzer tipteki robotların "lineerlikleri" birbiri ile karşılaştırılabilir. Tanımında yer alan  $H_{ij}$ ,  $C_{ij}$  ve  $G_i$  ağırlık katsayıları da lineerlik endeksinin kullanıcının amacına uygun bir biçimde formüle edilebilmesini sağlamaktadır. Bu endeksin bir diğer avantajı da kapalı formda elde edilebilmesidir.

Bölüm 2.5'deki örneklerden de görülebileceği gibi, lineerlik endeksi robotun dinamik parametrelerinin tasarımında da kullanılabilir. Söz konusu parametreleri birtakım eşitlikleri sağlayacak şekilde seçerek (örneğin bkz. (2.44) - (2.46) no'lu eşitlikler) robotu tamamen veya kısmen lineerize etmek mümkün olmaktadır. Dinamik parametrelerin sağlamaları gereken eşitlikler çok kısıtlayıcı olmadıysa, tasarımcı başka tasarım kriterlerini de (eğer varsa) sağlayabilmektedir. Yang ve Tzeng [1986] tarafından "lineerize edilemez" şeklinde nitelendirilen 4 serbestlik dereceli bir robot kol da, lineerlik endeksi kavramı kullanılarak tamamıyla lineer bir hale getirilebilmektedir [Sarrafi, 1993].

Lineerlik Endeksi ile robotun denetim performansı arasındaki ilişkiyi ortaya çıkarabilmek için geliştirilmiş bulunan benzetim programı kullanılmıştır. ODTÜ - ASELSAN robotunun ilk üç uzvunun bir PD - denetleyicisi ile kontrol edildiği varsayılarak ve üçüncü uzvun kütleisini değiştirerek değişik benzetimler yapılmış ve robotun performansı bir ISE performans indisi (PI) aracılığıyla hesaplanmıştır. Şekil 3.5'de verilen PI - LE grafiğinden de görüleceği üzere, lineerlik endeksi azaldıkça denetim performansı da artmakta, diğer bir deyişle hareket denklemleri "daha lineer" bir hale gelmektedir. İleride yapılacak çalışmalarda,

biçimde incelenmesi düşünülmektedir. Ayrıca LE kavramının robotun izleyeceği herhangi bir yörüngenin lineerliğini de belirleyecek şekilde genişletilmesi de düşünülmektedir.

Bu çalışma kapsamında ODTÜ-ASELSAN robotunun ilk üç uzvunun dinamik parametrelerini deneysel olarak belirleyebilmek için Atkeson, Chae ve Hollerbach [1986] tarafından geliştirilen Newton-Euler yöntemine dayalı bir tahmin yöntemi kullanılmıştır. Yapılan deneyler ve hesaplamalar sonucunda elde edilen dinamik parametreler gerçeki çıkmamıştır. Bu konudaki en önemli sorun, robotun denetim biriminin olmayıp, halen manuel olarak kontrol edilmesi şeklinde nitelendirilebilir.

ODTÜ-ASELSAN robotunun ilk üç uzvu gözönüne alındığında, dinamik parametrelerin (2.50) no'lu eşitlikte verilen kısıtları sağlaması durumunda hareket denklemlerinin lineer olacağı (Bkz. (2.51) no'lu eşitlikler) bölüm 2.5'te gösterilmiştir. Öte yandan, imal edilmiş olan robotun dinamik parametreleri bu kısıtları sağlayamamakta ve dolayısıyla hareket denklemleri nonlineer çıkmaktadır (Bkz. Ek 4). Bu durumda, robota monte edilmiş olan aparatı kullanarak 2. ve 3. uzuvların dinamik özelliklerini belli ölçüler içinde değiştirmek ve böylece hareket denklemlerini "daha lineer" bir hale getirmek en pratik çözüm olarak ortaya çıkmaktadır. Heride robotun bilgisayar aracılığıyla denetimi gerçekleştirildiğinde, aparat üzerindeki kütlelerin değer ve konumlarının denetim performansı üzerindeki etkilerini deneysel olarak saptamak ve böylece robotu (üzerinde hiçbir değişiklik yapmadan) olabildiğince lineer bir hale dönüştürmek mümkün olacaktır. Ayrıca, söz konusu kütlelerin LE aracılığıyla bulunabilecek optimum değer ve konumlarının deneysel olarak saptanan değerlerle karşılaştırılması da, lineerlik endeksi kavramının deneysel olarak da irdelenmesi açısından yararlı olacaktır.

## BÖLÜM 7

### KAYNAKÇA

- Asada, H., A Geometrical Representation of Manipulator Dynamics and its Application to Arm Design, Journal of Dynamic Systems, Measurement and Control, C. 105, 131-135 (1983).
- Atkeson, G.C., Chae, H.A. ve Hollerbach, J.M., Estimation of Inertial Parameters of Manipulator Loads and Links, International Journal of Robotics Research, Cilt 5, 101-119 (1986).
- Balkan, T., Kafıanođlu, B., Robot Kollarda Bir Yörünge Planlaması Yöntemi, 3. Ulusal Makina Tasarım ve İmalat Kongresi, ODTÜ, Ankara, 319-329, 21-23 Eylül (1988).
- Başçuhadar, I., Design and Construction of a Robotic Manipulator with Six Revolute Joints, Y. Lisans Tezi, ODTÜ, Ankara, Şubat (1989).
- Craig, J.J., Introduction to Robotics: Mechanics and Control, Addison-Wesley, Reading, Massachusetts (1986).
- Duffy, J., Analysis of Mechanisms and Robot Manipulators, John Wiley, New York (1980).
- Gautier, M. ve Khalil, W., Direct Calculation of Minimum Set of Inertial Parameters of Serial Robots, IEEE Transactions on Robotics and Automation, C. 6, No. 3, 368-373 (1990).
- Khosla, P.K., Categorization of Parameters in the Dynamic Robot Model, IEEE Transactions on Robotics and Automation, Cilt 5, No.3, 261-268 (1989).
- Lipkin, H. ve Duffy, J., A Vector Analysis of Robot Manipulators, Recent Advances in Robotics, ed: Beni, G. ve Hackwood, S., John Wiley, New York (1985).
- Nathan, R.H., A Constant Force Generation Mechanism, J. Mech. Trans. and Aut. in Design, Cilt 107, 509-512 (1985).



- Simple Dynamics, Proc. Instn. Mech. Engrs., C: 201, No. B4, 221-227 (1987).
- Park, H.J. ve Cho, H.J., General Design Conditions for an Ideal Robotic Manipulator Having Simple Dynamics, International Journal of Robotics Research, C: 10, No. 1, 21-29 (1991).
- Streit, D.A. ve Gilmore, B.J., Perfect Spring Equilibriators for Rotatable Bodies, J. Mech. Trans. and Aut. in Design, Cilt 111, 451-458 (1989).
- Sarrati, A., Computer Aided Generation and Linearization of the Equations of Motion of Serial Robot Manipulators, Y. Lisans Tezi, ODTÜ Makina Mühendisliği Bölümü (1993).
- Yang, D.C.H. ve Tzeng, S.W., Simplification and Linearization of Manipulator Dynamics by the Design of Inertia Distribution, International Journal of Robotics Research, Cilt 5, No. 3, 120-128 (1986).

**P, P\*, Q, R, U, U\*, V, W, X, X\*, Y VE Z ELEMANLARININ TANIMLARI**

Aşağıdaki tanımlarda e, f, g, h, i, j, k ve l artan sırada, ardışık bir tamsayı kümesini göstermektedir. Ayrıca  $\sin \theta_\gamma$ ,  $\cos \theta_\gamma$ ,  $\sin \alpha_{\beta\gamma}$  ve  $\cos \alpha_{\beta\gamma}$  sırasıyla  $s_\gamma$ ,  $c_\gamma$ ,  $s_{\beta\gamma}$  ve  $c_{\beta\gamma}$  olarak kısaltılmıştır.  $\beta$  ve  $\gamma$  herhangi bir indeksi göstermektedir.

## 1. Tek İndeksli Elemanların Tanımları:

## a) Artan İndeksler:

$$P_i = c_i$$

$$Q_i = c_{hi} s_i \quad (E.1)$$

$$R_i = s_{hi} s_i$$

$$X_i = s_{ij} s_i$$

$$Y_i = - (s_{hi} c_{ij} + c_{hi} s_{ij} c_i) \quad (E.3)$$

$$Z_i = (c_{hi} c_{ij} - s_{hi} s_{ij} c_i)$$

$$U_i = - s_i$$

$$V_i = c_{hi} c_i \quad (E.2)$$

$$W_i = s_{hi} c_i$$

## b) Eksilen İndeksler:

$$\bar{P}_i = c_i$$

$$\bar{Q}_i = c_{ij} s_i \quad (E.4)$$

$$\bar{R}_i = s_{ij} s_i$$

$$\bar{U}_i = - s_i$$

$$\bar{V}_i = c_{ij} c_i \quad (E.5)$$

$$\bar{W}_i = s_{ij} c_i$$

$$\bar{X}_i = s_{hi} s_i$$

$$\bar{Y}_i = - (s_{ij} c_{hi} + c_{ij} s_{hi} c_i) \quad (E.6)$$

$$\bar{Z}_i = (c_{ij} c_{hi} - s_{ij} s_{hi} c_i)$$

a) Artan İndeksler:

$$E_{fg \dots jk} = c_f E_{g \dots jk} - s_f F_{g \dots jk}$$

$$E^*_{fg \dots jk} = s_f E_{g \dots jk} + c_f F_{g \dots jk}$$

(E.7)

$$E_{fg \dots jk} = c_{ef} (s_f E_{g \dots jk} + c_f F_{g \dots jk}) - s_{ef} G_{g \dots jk}$$

$$G_{fg \dots jk} = s_{ef} (s_f E_{g \dots jk} + c_f F_{g \dots jk}) + c_{ef} G_{g \dots jk}$$

b) Eksilen İndeksler (1) :

$$E_{kj \dots gf} = c_k E_{j \dots gf} - s_k F_{j \dots gf}$$

$$E^*_{kj \dots gf} = s_k E_{j \dots gf} + c_k F_{j \dots gf}$$

$$F_{kj \dots gf} = c_{kl} (s_k E_{j \dots gf} + c_k F_{j \dots gf}) - s_{kl} G_{j \dots gf}$$

$$G_{kj \dots gf} = s_{kl} (s_k E_{j \dots gf} + c_k F_{j \dots gf}) + c_{kl} G_{j \dots gf}$$

burada, (EFG)  $\equiv$  (PQR), (UVW) veya (XYZ) dir.

3. Döal Elemanların Tanımları:

$A_{\alpha\beta \dots \gamma}$  elemanlarının döali  $A_{\alpha\beta \dots \gamma}$  ile gösterilirse,

$$A_{\alpha\beta \dots \gamma} = \sum_{U=ef}^{ik} a_U \frac{\partial A_{\alpha\beta \dots \gamma}}{\partial \alpha_U} + \sum_{K=e}^k s_{KK} \frac{\partial A_{\alpha\beta \dots \gamma}}{\partial \theta_K} \quad (E.9)$$

Burada A sembolü X, Y, Z, X\*, U, V, W, U\*, P, Q, P\* veya R elemanlarından herhangi birini gösterebilir.

---

<sup>1</sup> (E.8) bağıntısının sağ tarafındaki E, F ve G elemanlarının tek indeksli olması durumunda bu elemanların yerine aynı indeksli  $\bar{E}$ ,  $\bar{F}$  ve  $\bar{G}$  elemanları konulmalıdır.





```

+2*SIN(T2)*SIN(AL23)*COS(AL12)**2*COS(T3)**2*S33*Q11*A12
+2*SIN(T2)*SIN(AL23)*COS(AL12)*COS(T3)**2*S33*Q12*A12
+SIN(T3)**2*SIN(AL23)**2*COS(AL12)**2*S33**2*Q11
+2*SIN(T3)**2*SIN(AL23)**2*COS(AL12)*S33**2*Q12
+SIN(T3)**2*SIN(AL23)**2*S33**2*Q22
+SIN(T3)**2*COS(AL12)**2*COS(T2)**2*COS(AL23)**2*Q11*A12**2
+2*SIN(T3)**2*COS(AL12)**2*COS(T2)*COS(AL23)**2*Q11*A23*A12
+SIN(T3)**2*COS(AL12)**2*COS(AL23)**2*Q11*A23**2
+2*SIN(T3)**2*COS(AL12)*COS(T2)*COS(AL23)**2*Q12*A23*A12
+2*SIN(T3)**2*COS(AL12)*COS(AL23)**2*Q12*A23**2
+SIN(T3)**2*COS(AL23)**2*Q22*A23**2
+SIN(AL23)**2*COS(AL12)**2*COS(T2)**2*Q11*A12**2
+2*SIN(AL23)**2*COS(AL12)**2*COS(T2)*Q11*A23*A12
+SIN(AL23)**2*COS(AL12)**2*COS(T3)**2*S33**2*Q11
+SIN(AL23)**2*COS(AL12)**2*Q11*A23**2
+2*SIN(AL23)**2*COS(AL12)*COS(T3)*Q12*A23*A12
+2*SIN(AL23)**2*COS(AL12)*COS(T3)**2*S33**2*Q12
+2*SIN(AL23)**2*COS(AL12)*Q12*A23**2
+SIN(AL23)**2*COS(T3)**2*S33**2*Q22
+SIN(AL23)**2*Q22*A23**2
+COS(AL12)**2*COS(T2)**2*COS(T3)**2*COS(AL23)**2*Q11*A12**2
+2*COS(AL12)**2*COS(T2)*COS(T3)**2*COS(AL23)**2*Q11*A23*A12
+COS(AL12)**2*COS(T3)**2*COS(AL23)**2*Q11*A23**2
+2*COS(AL12)*COS(T2)*COS(T3)**2*Q12*A23*A12
+2*COS(AL12)*COS(T3)**2*COS(AL23)**2*Q12*A23**2
+COS(T3)**2*COS(AL23)**2*Q22*A23**2/2

```

\* : Çıktılarda kullanılan notasyon :

Qij	=	q <sub>i</sub> q <sub>j</sub>
Sii	=	S <sub>ii</sub>
Aij	=	a <sub>ij</sub>
ALij	=	α <sub>ij</sub>
Ti	=	θ <sub>i</sub>

D herhangi bir Lipkin-Duffy terimini simgelemekte ise :

D(hi...m) = Dh<sub>i</sub>...m

D0(hi...m) = D0h<sub>i</sub>...m

## HAREKET DENKLEMLERİ VE LINEERLİK ENDEKSİ PROGRAMI KULLANIM KILAVUZU

Söz konusu programlar REDUCE isimli sembolik manipülasyon paketi kullanılarak geliştirilmiştir. Bu nedenle öncelikle REDUCE paketinin bilgisayara yüklenmesi gereklidir. Bu işlemi gerçekleştirebilmek için öncelikle hard diskte (C sürücüsü) REDUCE isimli bir küçük yaratılır. Sonra A sürücüsüne geçilip "Install" denildikten sonra REDUCE 1 ve REDUCE 2 diskeleri sırayla yüklenir. Bu işlemlerden sonra, 3 no'lu disketteki dosyaları REDUCE kütüğüne kopyalamak gereklidir. Bu diskette, geliştirmiş olduğumuz hareket denklemleri ve lineerlik endeksi programları yer almaktadır. 3 no'lu disketteki MANUAL1W, MANUAL2W ve MANUAL3W dosyaları hareket denklemleri, Lineerlik Endeksi ve H, C matrisleri ile G vektörünü elde etmek için kullanılması gerekli veri giriş dosyalarıdır. Bu dosyaların kullanım amaçları aşağıda verilmiştir:

MANUAL1W : Sadece hareket denklemlerini bulmak için kullanılacak veri giriş dosyası.

MANUAL2W : Hareket denklemleri ile, H, C matrisleri ve G vektörünü bulmak için kullanılacak veri giriş dosyası.

MANUAL3W : Hareket denklemleri; H, C, G matrislerini ve Lineerlik Endeksini bulmak için kullanılacak veri giriş dosyası.

Bu dosyalarda gerekli açıklamalar % işareti ile başlayan satırlarda verilmiş olup, yapılacak işlem, açıklamalar doğrultusunda gerekli boşlukları doldurmak ve bu dosyayı bir REDUCE seansında koşturmaktan ibaretir. Söz konusu 3 veri giriş dosyasının çıktıları aşağıda verilmiştir:

off echos

% SADECE HAREKET DENKLEMLERINI BULMAK ICIN  
% KULLANILACAK VERI GIRIS DOSYASI.

% ROBOTUN SERBESTLIK DEREJESINI GIRINIZ :

DOF:= \$

% EKLEM TIPLERINI GIRINIZ :

%( 0 : DONER EKLEM . 1 : KAYAR EKLEM )

JT1:= \$

JT2:= \$

JT3:= \$

JT4:= \$

JT5:= \$

JT6:= \$

% HAREKET DENKLEMLERININ NE KADAR ACILMASI GEREKTIGINI BELIRTINIZ:

%( full : TAM ACILMIS DURUM . semi : SADECE LD TERIMLERI

% CINSINDEN .none : DUALLER VE LD TERIMLERI CINSINDEN )

EXPLEVEL:= \$

% GAUTIER GRUPLAMALARINI ISTEYIP ISTEMEDIGINIZI BELIRTINIZ :

%( yes : GRUPLAMA ISTENIYOR . no : GRUPLAMA ISTEMIYOR )

GROUPING:= \$

% YERCEKIMI IVNESINE PARALEL BIR BIRIM VEKTORUN (N+1) INCI B EKSEN

% TAKIMINDAKI BILESENLERINI BELIRTINIZ :

%( GX . GY VE GZ SIRASIYLA X . Y VE Z BILESENLERINI GOSTERMECTEDIR )

GX:= \$

GY:= \$

GZ:= \$

% KINEMATIK PARAMETRELERI GIRINIZ :

% ALFA ACILARI (RADYAN CINSINDEN . PI ACISI pı OLARAK )

AL1:= \$

AL12:= \$

AL23:= \$

AL34:= \$

AL45:= \$

AL56:= \$

% SII OFSETLERI

S11:= \$

S22:= \$

S33:= \$

S44:= \$

S55:= \$

S66:= \$



A14:= \$  
A23:= \$  
A34:= \$  
A45:= \$  
A56:= \$

% DYNAMIK PARAMETRELERI GIRINIZ :  
% 1.UZUV

% EYLEMSIZLIK TENSORU ELEMANLARI

XX1:= \$  
YY1:= \$  
ZZ1:= \$  
XY1:= \$  
XZ1:= \$  
YZ1:= \$

% KUTLE CARPI AGIRLIK MERKEZI VEKTORUNUN KOORDINATLARI

MX1:= \$  
MY1:= \$  
MZ1:= \$

% KUTLE

M1:= \$

% 2.UZUV

XX2:= \$  
YY2:= \$  
ZZ2:= \$  
XY2:= \$  
XZ2:= \$  
YZ2:= \$

MX2:= \$  
MY2:= \$  
MZ2:= \$

M2:= \$

% 3.UZUV

XX3:= \$  
YY3:= \$  
ZZ3:= \$  
XY3:= \$  
XZ3:= \$  
YZ3:= \$

MX3:= \$  
MY3:= \$  
MZ3:= \$

M3:= \$

% 4.UZUV

```
XY4:= $
XZ4:= $
YZ4:= $
MX4:= $
MY4:= $
MZ4:= $
M4:= $
```

% 5. UZUV

```
KX5:= $
YY5:= $
ZZ5:= $
XY5:= $
XZ5:= $
YZ5:= $
```

```
MX5:= $
MY5:= $
MZ5:= $
```

M5:= \$

% 6. UZUV

```
XX6:= $
YY6:= $
ZZ6:= $
XY6:= $
XZ6:= $
YZ6:= $
```

```
MX6:= $
MY6:= $
MZ6:= $
```

M6:= \$

```
in "equation.ref"$
of nats
on lists
```

% YERGENİMİ İYİMESİNİN DEĞERİNİ GİRİNİZ :

Q:= \$

% YAY SABİTLERİNİ GİRİNİZ :

```
K12:= $
K23:= $
K34:= $
K45:= $
K56:= $
```

% YAY BAĞLANTI YERLERİNİ GİRMEK İSTİYORSANIZ.

% ASAGIDA VERİLEN İSİMLERİ KULLANINIZ.

% asjri : A ÜSTÜ YILDIZ İNDEKS JKI

```
10. HAREKET DENKLEMLERİNİN İZLENİMLERİNİ DOSTLARI İZLENİMLERİNİ  
% out VE SHUT KOMUTLARINDAN SONRA BİR BOSLUK  
% BIRAKARAK TAZİNİZ
```

```
OUT $  
writeqn() $  
SHUT $
```

```
Send $
```

## MANUAL2W

```
off echos
```

```
% HAREKET DENKLEMLERİ İLE H . C MATRİSLERİ  
% VE VEKTÖRÜNÜ BULMAK İÇİN KULLANILACAK  
% VERİ GİRİŞ DOSYASI.
```

```
% ROBOTUN SERBESTLİK DEREJESİNİ GİRİNİZ :
```

```
DOF:= $
```

```
% EKLEM TİPLERİNİ GİRİNİZ :
```

```
%(0 : DONER EKLEM , 1 : KAYAR EKLEM )
```

```
JT1:= $  
JT2:= $  
JT3:= $  
JT4:= $  
JT5:= $  
JT6:= $
```

```
% HAREKET DENKLEMLERİNİN NE KADAR AÇILMASI GEREKTİĞİNİ BELİRTİNİZ:
```

```
%( full : TAM AÇILMIS DURUM , semi : SADECE LD TERİMLERİ
```

```
%, cinsinden , none : DUALLER VE LD TERİMLERİ CİNSİNDEN )
```

```
EXPLEVEL:= $
```

```
% GAÜTTER GRUPLAMALARINI İSTİYİP İSTEMEDİĞİNİZİ BELİRTİNİZ :
```

```
%( yes : GRUPLAMA İSTENİYOR , no : GRUPLAMA İSTENMİYOR )
```

```
GROUPING:= $
```

```
% YERÇEKİMİ İYİMESİNE PARALEL SİR BİRİM VEKTÖRÜN (N+1) İNCİ B EKSEN
```

```
% TAKIMINDAKİ BİLEŞENLERİNİ BELİRTİNİZ .
```

```
%( GX , GY VE GZ SIRASIYLA X , Y VE Z BİLEŞENLERİNİ GÖSTERMEKTEDİR )
```

```
GX:= $  
GY:= $  
GZ:= $
```

```
% KİNEMATİK PARAMETRELERİ GİRİNİZ :
```

```
%( ALFA AÇILARI (RADYAN CİNSİNDEN) , PI ACISI p1 OLARAK )
```

AL23:= \$  
AL34:= \$  
AL45:= \$  
AL56:= \$

% SII OFSETLERI

S11:= \$  
S22:= \$  
S33:= \$  
S44:= \$  
S55:= \$  
S66:= \$

% AII UZUV BOYUTLARI

A12:= \$  
A23:= \$  
A34:= \$  
A45:= \$  
A56:= \$

% DYNAMIK PARAMETRELERI GIRINIZ :

% I.UZUV

% EYLEMSİZLİK TENSORU ELEMANLARI

XX1:= \$  
YY1:= \$  
ZZ1:= \$  
XY1:= \$  
XZ1:= \$  
YZ1:= \$

% KUTLE CARI AĞIRLIK MERKEZİ VEKTORUNUN KOORDINATLARI

MX1:= \$  
MY1:= \$  
MZ1:= \$

% KUTLE

M1:= \$

% D.UZUV

XX2:= \$  
YY2:= \$  
ZZ2:= \$  
XY2:= \$  
XZ2:= \$  
YZ2:= \$

MX2:= \$  
MY2:= \$  
MZ2:= \$  
M2:= \$

```

YY3:= $
ZZ3:= $
XY3:= $
XZ3:= $
YZ3:= $

MX3:= $
MY3:= $
MZ3:= $

M3:= $

% 4.UZUV

XX4:= $
YY4:= $
ZZ4:= $
XY4:= $
XZ4:= $
YZ4:= $

MX4:= $
MY4:= $
MZ4:= $

M4:= $

% 5.UZUV

XX5:= $
YY5:= $
ZZ5:= $
XY5:= $
XZ5:= $
YZ5:= $

MX5:= $
MY5:= $
MZ5:= $

M5:= $

% 6.UZUV

XX6:= $
YY6:= $
ZZ6:= $
XY6:= $
XZ6:= $
YZ6:= $

MX6:= $
MY6:= $
MZ6:= $

M6:= $

```

in "equation.red"  
of nats

```

on list$

% H . C MATRISLERI VE G VEKTORUNUN YAZILACAGI DOSYANIN
% ISMINI out VE shut KOMUTLARINDAN SONRA BIR BOSLUK
% BIRAKARAK YAZINIZ

OUT          $
in "newinert.red"$
inertial()$
coupling()$
grv()$
write "Send"$
SHUT        $

% YERCEKIMI IVMESININ DEGERINI GIRINIZ :

G:=          $

% YAY SABITLERINI GIRINIZ :

K12:= $
K23:= $
K34:= $
K45:= $
K56:= $

% YAY BAGLANTI YERLERINI GIRMEK ISTIYORSANIZ.
% ASAGIDA VERILEN ISIMLERI KULLANINIZ.
% asjki : A USTU YILDIZ INDEKS JK.I
% ssjji : S USTU YILDIZ INDEKS JJ.I
% A USTU YILDIZ VE SUSTU YILDIZ NOTASYONU
% RAPORDA ACIKLANMISTIR.

% HAREKET DENKLEMLERININ YAZILACAGI DOSYANIN ISMINI
% out VE shut KOMUTLARINDAN SONRA BIR BOSLUK
% BIRAKARAK YAZINIZ

OUT          $
writeqn()$
SHUT        $

Send$

oiff echo$

% HAREKET DENKLEMLERI, H. C . G MATRISLERINI
% VE LINEERLIK ENDEKSINI BULMAK ICIN
% KULLANILACAK VERI GIRIS DOSYASI.

% ROBOTUN SERBESTLIK DERECESINI GIRINIZ :

```

## MANUAL3W

JT4:= \$  
JT5:= \$  
JT6:= \$

% HAREKET DENKLEMLERININ NE KADAR ACILMASI GEREKTIGINI BELIRTINIZ:  
% ( full : TAM ACILMIS DURUM , semi : SADECE LD TERIMLERI  
% CINSINDEN , none : DUALLER VE LD TERIMLERI CINSINDEN )

EXPLEVEL:= \$

% GAUTIER GRUPLAMALARINI ISTEYIP ISTEMEDIGINIZI BELIRTINIZ :  
% ( yes : GRUPLAMA ISTEMIYOR , no : GRUPLAMA ISTEMIYOR )

GROUPING:= \$

% YERCEKIMI IVMESINE PARALEL BIR BIRIM VEKTORUN (N+1) INCI B EKSEN  
% TAKIMINDAKI BILESENLERINI BELIRTINIZ :  
% ( GX , GY VE GZ SIRASıyla X , Y VE Z BILESENLERINI GOSTERMEKTEDIR )

GX:= \$

GY:= \$

GZ:= \$

% KINEMATİK PARAMETRELERI GIRINIZ :

% ALFA ACILARI (RADYAN CINSINDEN , PI ACISI PI OLARAK )

AL71:= \$

AL12:= \$

AL23:= \$

AL34:= \$

AL45:= \$

AL56:= \$

% SII OFSETLERI

S11:= \$

S22:= \$

S33:= \$

S44:= \$

S55:= \$

S66:= \$

% AJI UZUV BOYUTLARI

A12:= \$

A23:= \$

A34:= \$

A45:= \$

A56:= \$

% DİNAMİK PARAMETRELERI GIRINIZ :  
% 1.UZUV

% EYLEMSİZLİK TENSÖRÜ ELEMANLARI

KX1:= \$

YY1:= \$

ZZ1:= \$

MX1:= \$  
MY1:= \$  
MZ1:= \$

% KUTLE

M1:= \$

% 2.UZUV

XX2:= \$  
YY2:= \$  
ZZ2:= \$  
XY2:= \$  
XZ2:= \$  
YZ2:= \$

MX2:= \$  
MY2:= \$  
MZ2:= \$

M2:= \$

% 3.UZUV

XX3:= \$  
YY3:= \$  
ZZ3:= \$  
XY3:= \$  
XZ3:= \$  
YZ3:= \$

MX3:= \$  
MY3:= \$  
MZ3:= \$

M3:= \$

% 4.UZUV

XX4:= \$  
YY4:= \$  
ZZ4:= \$  
XY4:= \$  
XZ4:= \$  
YZ4:= \$

MX4:= \$  
MY4:= \$  
MZ4:= \$

M4:= \$

% 5.UZUV

XX5:= \$



```

MX5:= $
MY5:= $
MZ5:= $

M5:= $

% 6.UZUV

XX6:= $
YY6:= $
ZZ6:= $
XY6:= $
XZ6:= $
YZ6:= $

MX6:= $
MY6:= $
MZ6:= $

M6:= $

in "equation.red"$
off nat$
on list$

% H , C MATRISLERI VE G VEKTORUNUN YAZILACAGI DOSYANIN
% ISMINI out ve shut KOMUTLARINDAN SONRA BIR BOSLUK
% BIRAKARAK YAZINIZ

OUT $
in "newinert.red"$
inertial()$
coupling()$
grv()$
write"send"$
SHUT $

% YERCEKIMI İVMESİNİN DEĞERİNİ GİRİNİZ :

G:= $

% YAY SABİTLERİNİ GİRİNİZ :

K12:= $
K23:= $
K34:= $
K45:= $
K56:= $

% YAY BAĞLANTI YERLERİNİ GİRMEK İSTİYORSANIZ.
% ASAGIDA VERİLEN İSİMLERİ KULLANINIZ.
% asiki : A USTU YILDIZ İNDEKS JKI
% ssji : S USTU YILDIZ İNDEKS JKI
% A USTU YILDIZ VE SUSTU YILDIZ NOTASYONU
% RAPORDA ACIKLANMIŞTIR.

% HAREKET DENKLEMLERİNİN YAZILACAGI DOSYANIN İSMİNİ

```

OUT \$  
 writeqn()\$  
 SHUT \$

% LINEERLIK ENDEKSINI BULMAK ICIN , AGIRLIK KATSAYILARINI  
 % GIRINIZ :

% H MATRISININ KATSAYILARI (ILK RAKAM SIRA SAYISINI , BIR  
 % SONRAKI RAKAMLAR) SUTUN SAYISINI SIMGELER),  
 % H MATRISI SIMETRİK OLDUGUNDAN SADECE SAG UST YARIDAKI  
 % KATSAYILAR GEREKMEKTEDIR

HH11:= \$  
 HH12:= \$  
 HH13:= \$  
 HH14:= \$  
 HH15:= \$  
 HH16:= \$  
 HH22:= \$  
 HH23:= \$  
 HH24:= \$  
 HH25:= \$  
 HH26:= \$  
 HH33:= \$  
 HH34:= \$  
 HH35:= \$  
 HH36:= \$  
 HH44:= \$  
 HH45:= \$  
 HH46:= \$  
 HH55:= \$  
 HH56:= \$  
 HH66:= \$

% N \* (N\*\*2 + N)/2 BOYUTLARINDAKI C MATRISININ KATSAYILARI  
 % (ILK RAKAM SIRA SAYISINI , BIR SONRAKI RAKAMLAR)  
 % SUTUN SAYISINI SIMGELER)

CC11:= \$  
 CC12:= \$  
 CC13:= \$  
 CC14:= \$  
 CC15:= \$  
 CC16:= \$  
 CC17:= \$  
 CC18:= \$  
 CC19:= \$  
 CC110:= \$  
 CC111:= \$  
 CC112:= \$  
 CC113:= \$  
 CC114:= \$  
 CC115:= \$  
 CC116:= \$  
 CC117:= \$  
 CC118:= \$  
 CC119:= \$  
 CC120:= \$  
 CC121:= \$  
 CC21:= \$

CC24:= S S  
CC25:= S S  
CC26:= S S  
CC27:= S S  
CC28:= S S  
CC29:= S S  
CC210:= S S  
CC211:= S S  
CC212:= S S  
CC213:= S S  
CC214:= S S  
CC215:= S S  
CC216:= S S  
CC217:= S S  
CC218:= S S  
CC219:= S S  
CC220:= S S  
CC221:= S S

CC31:= S S  
CC32:= S S  
CC33:= S S  
CC34:= S S  
CC35:= S S  
CC36:= S S  
CC37:= S S  
CC38:= S S  
CC39:= S S  
CC310:= S S  
CC311:= S S  
CC312:= S S  
CC313:= S S  
CC314:= S S  
CC315:= S S  
CC316:= S S  
CC317:= S S  
CC318:= S S  
CC319:= S S  
CC320:= S S  
CC321:= S S

CC41:= S S  
CC42:= S S  
CC43:= S S  
CC44:= S S  
CC45:= S S  
CC46:= S S  
CC47:= S S  
CC48:= S S  
CC49:= S S  
CC410:= S S  
CC411:= S S  
CC412:= S S  
CC413:= S S  
CC414:= S S  
CC415:= S S  
CC416:= S S  
CC417:= S S  
CC418:= S S  
CC419:= S S  
CC420:= S S

CC421:= \$  
CC51 := \$  
CC52 := \$  
CC53 := \$  
CC54 := \$  
CC55 := \$  
CC56 := \$  
CC57 := \$  
CC58 := \$  
CC59 := \$  
CC510:= \$  
CC511:= \$  
CC512:= \$  
CC513:= \$  
CC514:= \$  
CC515:= \$  
CC516:= \$  
CC517:= \$  
CC518:= \$  
CC519:= \$  
CC520:= \$  
CC521:= \$

CC61 := \$  
CC62 := \$  
CC63 := \$  
CC64 := \$  
CC65 := \$  
CC66 := \$  
CC67 := \$  
CC68 := \$  
CC69 := \$  
CC610:= \$  
CC611:= \$  
CC612:= \$  
CC613:= \$  
CC614:= \$  
CC615:= \$  
CC616:= \$  
CC617:= \$  
CC618:= \$  
CC619:= \$  
CC620:= \$  
CC621:= \$

% G VEKTORUNUN KATSAYILARI  
%( RAKAM , SIRI SAYISINI GOSTERMEKTEDIR )

GG1:= \$  
GG2:= \$  
GG3:= \$  
GG4:= \$  
GG5:= \$  
GG6:= \$

% LINEERLIK ENDEKSININ HESAPLANACAGI BOLGENIN SINIRLARINI (YANI  
% EKLEM DEGISKENLERININ ALT VE UST SINIRLARINI) GIRINIZ :  
% TI VE SJJ SIRASITLA I NCI DONER EKLEM DEGISKENI VE J INCI  
% KAYAR EKLEM DEGISKENINI SIMGELEMEKTEDIR( ACILAR RADYAN  
% CINSINDEN). MIN VE MAX ALT VE UST SINIRLARI SIMGELEMEKTEDIR.  
% ASAGIDAKILER 6 DONER EKLEMLI BIR ROBOT ICINDIR.

```

T1MIN:= $
T1MAX:= $
T2MIN:= $
T2MAX:= $
T3MIN:= $
T3MAX:= $
T4MIN:= $
T4MAX:= $
T5MIN:= $
T5MAX:= $
T6MIN:= $
T6MAX:= $

% LINEERLIK ENDEKSİNİN TANIMINI H MATRİSİNİ DİYAGONAL YAPACAK
% SEKİLDE DEĞİSTİRMEK İSTİYORSANIZ , BU CÜMLENİN BİTİMİNDEKİ
% SATIRIN BASINDAKİ YÜZDE İSARETİNİ KALDIRINIZ :

% inertialmatrix:=diagonal$

% LINEERLIK ENDEKSİNİN TANIMINI C MATRİSİNİN ELEMANLARINI
% SIFIR YAPMAK YERİNE SIFIR YAPACAK SEKİLDE DEĞİSTİRMEK
% İSTİYORSANIZ , BU CÜMLENİN BİTİMİNDEKİ SATIRIN BASINA
% YÜZDE İSARETİ KOYUNUZ :

coupling:=free$

% LINEERLIK ENDEKSİNİN TANIMINI G VEKTÖRÜNÜN ELEMANLARINI
% SABİT YAPMAK YERİNE SIFIR YAPACAK SEKİLDE DEĞİSTİRMEK
% İSTİYORSANIZ, BU CÜMLENİN BİTİMİNDEKİ SATIRIN BASINDAKİ
% YÜZDE İSARETİNİ KALDIRINIZ :

% potential:=free$

in newind$

% BU DOSYAYI BİR REDUCE SEANSINDA KOSTURDUKTAN SONRA LINEERLIK
% ENDEKSİ REDUCE KUTUGÜNDEKİ linuzero DOSYASINDAKİ linearity
% İSMİ ALTINDA ARSIYLEMİS OLACAKTIR. EĞER on rounded MODUNDA
% CALIŞTI İSEİNİZ, SIFIR OLMASI GEREKTİĞİ HALDE BİLGİSAYAR
% HASSASİYETİNDEN DOLAYI SIFIR OLMAYAN TERİMLERİ ATMAK
% İÇİN linuzero DOSYASINI YENİ BİR REDUCE SEANSINDA in
% EDİNİZ, linuzero DOSYASINDA ALTTAN İKİNCİ SATIRDAKİ
% 1E-10 SAYISI 10 ÜZERİ EKSI 40 TAN KUÇUK KATSAYILI
% TERİMLERİN ATILACAGINI BELİRTMEKTEDİR. BU SAYI İSTENİRSE
% DEĞİŞTİRİLEBİLİR.

$ends

```

verilmiştir:

EQUATION (i, 1)	: $\tau_i$
Sii	: $S_{ii}$
Mi	: $m_i$
XXi, XYi, XZi, YYi, YZi, ZZi	: $XX_i, XY_i, XZ_i, YY_i, YZ_i, ZZ_i$
ALij	: $\alpha_{ij}$
Aij	: $a_{ij}$
ti	: $\theta_i$
tdi	: $\dot{\theta}_i$
tddi	: $\ddot{\theta}_i$
H (i, j)	: <b>H</b> matrisinin i'nci sıra j'nci sütündeki elemanı
C (i, j)	: <b>C</b> matrisinin i'nci sıra j'nci sütündeki elemanı
GRPSP (i, 1)	: <b>G</b> vektörünün i'nci elemanı
g	: Yerçekimi ivmesi
kij	: $k_{ij}$
LINEARITY	: Lineerlik Endeksi

Örnek olarak ODTÜ-ASELSAN robotunun ilk üç uzvuna karşılık gelen hareket denklemleri ve lineerlik endeksi bulunmuş olup, veri giriş dosyası ve çıktı dosyaları Ek 4'de verilmiştir.

## ODTÜ-ASELSAN ROBOTUNUN HAREKET DENKLEMLERİ

ODTÜ-ASELSAN robotunun ilk 3 uzvunun hareket denklemlerini; H, C matrisleri ile G vektörünü ve lineerlik endeksini bulmak için, Ek 3'de açıklanan MANUVAL3W dosyası kullanılarak ODAS3. isimli veri giriş dosyası hazırlanmıştır ( Dinamik parametreler ve eklem limitleri Başçuhadar'ın (1989) çalışmasından alınmıştır ). Bu dosya, bir REDUCE seansında " IN ODAS3; " komutuyla çalıştırıldıktan sonra, ODAS32. , ODAS31. ve LINUZERO. isimli çıktı dosyalarını oluşturmaktadır. Söz konusu 4 dosya aşağıda verilmiştir:

### ODAS3.

off echo\$

% HAREKET DENKLEMLERİ. H, C, G MATRİSLERİNİ

% VE LINEERLİK ENDEKSİNİ BULMAK İÇİN

% KULLANILACAK VERİ GİRİŞ DOSYASI.

% ROBOTUN SERBESTLİK DERECESİNİ GİRİNİZ :

DOF:=3 \$

% EKLEM TIPLERİNİ GİRİNİZ :

%( 0 : DONER EKLEM , 1 : KAYAR EKLEM )

JT1:=0 \$

JT2:=0 \$

JT3:=0 \$

JT4:= \$

JT5:= \$

JT6:= \$

% HAREKET DENKLEMLERİNİN NE KADAR AÇILMASI GEREKTİĞİNİ BELİRTİNİZ:

%( full : TAM AÇILMIŞ DURUM , semi : SADECE LD TERİMLERİ

% CİNSİNDEN , none : DUALLER VE LD TERİMLERİ CİNSİNDEN )

EXPLEVEL:=full \$

% GAUTIER GRUPLAMALARINI İSTİYİP İSTEMEDİĞİNİZİ BELİRTİNİZ :

%( yes : GRUPLAMA İSTENİYOR , no : GRUPLAMA İSTENMİYOR )

GROUPING:=no \$

% YERÇEKİMİ İYİMESİNE PARALEL BİR BİRİM VEKTÖRÜN (N+1) İNCİ B EKSEN

% TAKIMINDAKİ BİLESENLERİNİ BELİRTİNİZ :

%( GX , GY VE GZ SIRASIYLA X , Y VE Z BİLESENLERİNİ GOSTERMEKTEDİR )

GX:=0 \$

GY:=0 \$

GZ:=-1 \$

% KINEMATİK PARAMETRELERİ GİRİNİZ :  
% ALFA AÇILARI (RADYAN CİNSİNDEN , Pİ ACISI Pİ OLARAK )

AL71:=0 \$  
AL12:=-pi/2 \$  
AL23:=0 \$  
AL34:= \$  
AL45:= \$  
AL56:= \$

% SII OFSETLERİ

S11:=0 \$  
S22:=81.5E-3 \$  
S33:=0 \$  
S44:= \$  
S55:= \$  
S66:= \$

% AIJ UZUV BOYUTLARI

A12:=0 \$  
A23:=300E-3 \$  
A34:= \$  
A45:= \$  
A56:= \$

% DİNAMİK PARAMETRELERİ GİRİNİZ :

% 1.UZUV

% EYLEMSİZLİK TENSÖRÜ ELEMANLARI

XX1:=72889.35E-6 \$  
YY1:=40306.13E-6 \$  
ZZ1:=69859.09E-6 \$  
XY1:=15855.13E-6 \$  
XZ1:=1934.07E-6 \$  
YZ1:=1420.24E-6 \$

% KUTLE CARIPI AĞIRLIK MERKEZİ VEKTÖRÜNÜN KOORDİNATLARI

MX1:=5.146\*(-43.004E-3) \$  
MY1:=5.146\*(-45.763E-3) \$  
MZ1:=5.146\*(-15.138E-3) \$

% KUTLE

M1:=5.146 \$

% 2.UZUV

XX2:=43147.14E-6 \$  
YY2:=141647.0E-6 \$  
ZZ2:=102609.79E-6 \$  
XY2:=172.29E-6 \$  
XZ2:=17018.7E-6 \$  
YZ2:=175.7E-6 \$

MX2:=4.327\*(-40.105E-3) \$



M2:=4.327 \$

% 3.UZUV

XX3:=466653.89E-6 \$  
YY3:=5908.76E-6 \$  
ZZ3:=45809.7E-6 \$  
XY3:=-723.64E-6 \$  
XZ3:=-75.23E-6 \$  
YZ3:=-222.59E-6 \$

MX3:=3.296\*(0.74E-3) \$

MY3:=3.296\*(-15.598E-3) \$

MZ3:=3.296\*(7.653E-3) \$

M3:=3.296 \$

% 4.UZUV

XX4:= \$  
YY4:= \$  
ZZ4:= \$  
XY4:= \$  
XZ4:= \$  
YZ4:= \$

MX4:= \$

MY4:= \$

MZ4:= \$

M4:= \$

% 5.UZUV

XX5:= \$  
YY5:= \$  
ZZ5:= \$  
XY5:= \$  
XZ5:= \$  
YZ5:= \$

MX5:= \$

MY5:= \$

MZ5:= \$

M5:= \$

% 6.UZUV

XX6:= \$  
YY6:= \$  
ZZ6:= \$  
XY6:= \$  
XZ6:= \$  
YZ6:= \$

MX6:= \$

MY6:= \$

MZ6:= \$

```

M61:=
)
in "equation.red"$
off nat$
on lists

% H , C MATRISLERI VE G VEKTORUNUN YAZILACAGI DOSYANIN
% ISMINI out ve shut KOMUTLARINDAN SONRA BIR BOSLUK
% BIRAKARAK YAZINIZ

OUT odas32          $
in "newinert.red"$
inertial()$
coupling()$
gTV()$
write"send"$
SHUT odas32        $

% YERCEKIMI İVMESİNİN DEĞERİNİ GİRİNİZ :
G:=9.81           $

% YAY SABİTLERİNİ GİRİNİZ :
K12:=0 $
K23:=0 $
K34:= $
K45:= $
K56:= $

% YAY BAĞLANTI YERLERİNİ GİRMEK İSTİYORSANIZ.
% ASAGIDA VERİLEN İSİMLERİ KULLANINIZ.
% asjki : A USTU YILDIZ İNDEKS JK.I
% sşji : S USTU YILDIZ İNDEKS JJ.I
% A USTU YILDIZ VE SUSTU YILDIZ NOTASYONU
% RAPORDA ACIKLANMIŞTIR.

% HAREKET DENKLEMLERİNİN YAZILACAGI DOSYANIN İSMİNİ
% out ve shut KOMUTLARINDAN SONRA BIR BOSLUK
% BIRAKARAK YAZINIZ

OUT odas31          $
writeqn()$
SHUT odas31        $

% LINEERLIK ENDEKSİNİ BULMAK İÇİN . AĞIRLIK KATSAYILARINI
% GİRİNİZ :

% H MATRİSİNİN KATSAYILARI İLK RAKAM SIRA SAYISINI , BİR
% SONRAKI RAKAMLAR) SUTUN SAYISINI SİNGELER),
% H MATRİSİ SİMETRİK OLDUĞUNDAN SADECE SAĞ UST YARIDAKI
% KATSAYILAR GEREKMEKTEDİR

HH11:=1 $
HH12:=1 $
HH13:=1 $
HH14:= $
HH15:= $
HH16:= $
HH22:=1 $
HH23:=1 $
HH24:= $

```

```

.....:
HH33:=1 $
HH34:= $
HH35:= $
HH36:= $
HH44:= $
HH45:= $
HH46:= $
HH55:= $
HH56:= $
HH66:= $
% N * (N**2 + N)/2 BOYUTLARINDAKI C MATRISININ KATSAYILARI
% (ILK RAKAM SIRA SAYISINI , BIR SONRAKI RAKAM(LAR)
% SUTUN SAYISINI SIMGELER)

```

```

CC11:=1 $
CC12:=1 $
CC13:=1 $
CC14:=1 $
CC15:=1 $
CC16:=1 $
CC17:= $
CC18:= $
CC19:= $
CC110:= $
CC111:= $
CC112:= $
CC113:= $
CC114:= $
CC115:= $
CC116:= $
CC117:= $
CC118:= $
CC119:= $
CC120:= $
CC121:= $

```

```

CC21:=1 $
CC22:=1 $
CC23:=1 $
CC24:=1 $
CC25:=1 $
CC26:=1 $
CC27:= $
CC28:= $
CC29:= $
CC210:= $
CC211:= $
CC212:= $
CC213:= $
CC214:= $
CC215:= $
CC216:= $
CC217:= $
CC218:= $
CC219:= $
CC220:= $
CC221:= $

```

```

CC31:=1 $
CC32:=1 $
CC33:=1 $

```

CC36 := 1 \$  
 CC37 := \$ \$  
 CC38 := \$ \$  
 CC39 := \$ \$  
 CC310 := \$ \$  
 CC311 := \$ \$  
 CC312 := \$ \$  
 CC313 := \$ \$  
 CC314 := \$ \$  
 CC315 := \$ \$  
 CC316 := \$ \$  
 CC317 := \$ \$  
 CC318 := \$ \$  
 CC319 := \$ \$  
 CC320 := \$ \$  
 CC321 := \$ \$  
  
 CC41 := \$ \$  
 CC42 := \$ \$  
 CC43 := \$ \$  
 CC44 := \$ \$  
 CC45 := \$ \$  
 CC46 := \$ \$  
 CC47 := \$ \$  
 CC48 := \$ \$  
 CC49 := \$ \$  
 CC410 := \$ \$  
 CC411 := \$ \$  
 CC412 := \$ \$  
 CC413 := \$ \$  
 CC414 := \$ \$  
 CC415 := \$ \$  
 CC416 := \$ \$  
 CC417 := \$ \$  
 CC418 := \$ \$  
 CC419 := \$ \$  
 CC420 := \$ \$  
 CC421 := \$ \$  
  
 CC51 := \$ \$  
 CC52 := \$ \$  
 CC53 := \$ \$  
 CC54 := \$ \$  
 CC55 := \$ \$  
 CC56 := \$ \$  
 CC57 := \$ \$  
 CC58 := \$ \$  
 CC59 := \$ \$  
 CC510 := \$ \$  
 CC511 := \$ \$  
 CC512 := \$ \$  
 CC513 := \$ \$  
 CC514 := \$ \$  
 CC515 := \$ \$  
 CC516 := \$ \$  
 CC517 := \$ \$  
 CC518 := \$ \$  
 CC519 := \$ \$  
 CC520 := \$ \$  
 CC521 := \$ \$

CC64:= \$  
CC63:= \$  
CC64:= \$  
CC65:= \$  
CC66:= \$  
CC67:= \$  
CC68:= \$  
CC69:= \$  
CC610:= \$  
CC611:= \$  
CC612:= \$  
CC613:= \$  
CC614:= \$  
CC615:= \$  
CC616:= \$  
CC617:= \$  
CC618:= \$  
CC619:= \$  
CC620:= \$  
CC621:= \$

% G VEKTORUNUN KATSAYILARI

%(RAKAM, SIRI SAYISINI GOSTERMEKTEDIR)

GG1:=1 \$  
GG2:=1 \$  
GG3:=1 \$  
GG4:= \$  
GG5:= \$  
GG6:= \$

% LINEERLIK ENDEKSININ HESAPLANACAGI BOLGENIN SINIRLARINI (YANI

% EKLEM DEGISKENLERININ ALT VE UST SINIRLARINI) GIRINIZ :

% TI VE SJI SIRASıyla INCI DONER EKLEM DEGISKENI VE J INCI

% KAYAR EKLEM DEGISKENINI SIMGELEMEKTEDIR( ACILAR RADYAN

% CINSINDEN). MIN VE MAX ALT VE UST SINIRLARI SIMGELEMEKTEDIR.

% ASAGIDAKILER 6 DONER EKLEMLI BIR ROBOT ICINDIR.

T1MIN:=0 \$  
T1MAX:=2\*pi \$

T2MIN:=-pi/2 \$  
T2MAX:=pi/4 \$

T3MIN:=-5pi/4 \$  
T3MAX:=pi/4 \$

T4MIN:= \$  
T4MAX:= \$

T5MIN:= \$  
T5MAX:= \$

T6MIN:= \$  
T6MAX:= \$

% LINEERLIK ENDEKSININ TANIMINI H MATRISINI DIAGONAL YAPACAK

% SEKILDE DEGISTIRMEK ISTIYORSANIZ, BU CUMLENIN BITMINDEKI

% SATIRIN BASINDAKI YUZDE ISARETINI KALDIRINIZ :

% inertialmatrix:=diagonal\$

```
% SIFIR YAPMAK YERINE SABIT YAPACAK SEKILDE DEGISTIRMEK
% ISTIYORSANIZ . BU CUMLENIN BITIMINDEKI SATIRIN BASINA
% YUZDE ISARETI KOYUNUZ :
```

```
coupling:=trees
```

```
% LINEERLIK ENDEKSININ TANIMINI G VEKTORUNUN ELEMANLARINI
% SABIT YAPMAK YERINE SIFIR YAPACAK SEKILDE DEGISTIRMEK
% ISTIYORSANIZ. BU CUMLENIN BITIMINDEKI SATIRIN BASINDAKI
% YUZDE ISARETINI KALDIRINIZ :
```

```
% potensial:=trees
```

```
in newind3$
```

```
% BU DOSYAYI BIR REDUCE SEANSINDA KOSTURDUKTAN SONRA LINEERLIK
% ENDEKSI REDUCE KUTUGUNDEKI Ihuzero DOSYASINDAKI linearity
% ISMI ALTINDA ARSIVLENMIS OLACAKTIR. EGER on rounded MODUNDA
% CALISTI ISENIZ, SIFIR OLMASI GEREKTIGI HALDE BILGISAYAR
% HASSASIYETINDEN DOLAYI SIFIR OLMAYAN TERIMLERI ATMAK
% ICIN Ihuzero DOSYASINI YENI BIR REDUCE SEANSINDA in
% EDINIZ. Ihuzero DOSYASINDA ALTAN IKINCI SATIRDAKI
% IE-40 SAYISI 10 UZERI EKSI 40 TAN KUCUK KATISAYILI
% TERIMLERIN ATILACAGINI BELIRTEKTEDIR. BU SAYI ISTENIRSE
% DEGISTIRILEBILIR.
```

```
Sends
```

## ODASS32.

```
0*****INERTIAL MATRIX *****
```

```
$
```

```
H(1,1):=(40755130000*sin(12)*sin(13)*cos(12)*cos(13)
-731712000*sin(12)*sin(13)*cos(12)
-1447280000*sin(12)*cos(12)*cos(13)**2
+15423302400*sin(12)*cos(12)*cos(13)
+895930000*sin(12)*cos(12)
-1447280000*sin(13)*cos(12)**2*cos(13)
-15423302400*sin(13)*cos(12)**2
+723640000*sin(13)*cos(13)
-40755130000*cos(12)**2*cos(13)**2
+731712000*cos(12)**2*cos(13)
+217947495000*cos(12)**2
+20377565000*cos(13)**2
+108320731817)/50000000000000$
```

```
H(1,2):=(7934814304*sin(12)*sin(13)
+548023520*sin(12)*cos(13)
+182060276195*sin(12)
-548023520*sin(13)*cos(12)
-7934814304*cos(12)*cos(13)
+532262540*cos(12))/20000000000000$
```

```

H(1,3):=(247962947*sin(t2)*sin(t3)
+17125735*sin(t2)*cos(t3)
+17125735*sin(t3)*cos(t2)
-247962947*cos(t2)*cos(t3))/62500000000$

H(3,1):=H(1,3)$

H(2,2):=(77116512*sin(t3)
+3658560*cos(t3)
+1112648725)/2500000000$

H(2,3):=(3*(6426376*sin(t3)
+304880*cos(t3)
+19087375))/1250000000$

H(3,2):=H(2,3)$

H(3,3):=458097/100000000$

%***** CORIOLIS AND CENTRIFUGAL MATRIX *****$
% IN THE C(I,J) TERMS BELOW. I REFERS TO THE EQUATION
% NUMBER AND J INDICATES THE Q-DOT TERMS GIVEN BELOW
$
% J=1 ..... tD1*tD1$
% J=2 ..... tD1*tD2$
% J=3 ..... tD1*tD3$
% J=4 ..... tD2*tD2$
% J=5 ..... tD2*tD3$
% J=6 ..... tD3*tD3$

C(1,1):=0$

C(1,2):=(7236400*sin(t2)*sin(t3)*cos(t2)*cos(t3)
-77116512*sin(t2)*sin(t3)*cos(t2)
+203775650*sin(t2)*cos(t2)*cos(t3)**2
-3658560*sin(t2)*cos(t2)*cos(t3)
-1089737475*sin(t2)*cos(t2)
+203775650*sin(t3)*cos(t2)**2*cos(t3)
-3658560*sin(t3)*cos(t2)**2
-101887825*sin(t3)*cos(t3)
+1829280*sin(t3)
-7236400*cos(t2)**2*cos(t3)**2
+77116512*cos(t2)**2*cos(t3)
+4479650*cos(t2)**2
+3618200*cos(t3)**2
-38558256*cos(t3)
-2239825/1250000000$

C(1,3):=(7236400*sin(t2)*sin(t3)*cos(t2)*cos(t3)
-38558256*sin(t2)*sin(t3)*cos(t2)
+203775650*sin(t2)*cos(t2)*cos(t3)**2

```

```

-101000000*cos(t2)*cos(t3)
+203775650*sin(t3)*cos(t2)**2*cos(t3)
-1829280*sin(t3)*cos(t2)**2
-101887825*sin(t3)*cos(t3)
-7236400*cos(t2)**2*cos(t3)**2
-38558256*cos(t2)**2*cos(t3)
+3618200*cos(t2)**2
+3618200*cos(t3)**2
-1809100//1250000000$

C(1,4):=(
-548023520*sin(t2)*sin(t3)
-7934814304*sin(t2)*cos(t3)
-532262540*sin(t2)
+7934814304*sin(t3)*cos(t2)
+548023520*cos(t2)*cos(t3)
+182060276195*cos(t2)//2000000000000$

C(1,5):=(
-17125735*sin(t2)*sin(t3)
+247962947*sin(t2)*cos(t3)
+247962947*sin(t3)*cos(t2)
+17125735*cos(t2)*cos(t3)//31250000000$

C(1,6):=(
-17125735*sin(t2)*sin(t3)
-247962947*sin(t2)*cos(t3)
+247962947*sin(t3)*cos(t2)
+17125735*cos(t2)*cos(t3)//62500000000$

C(2,1):=(
-7236400*sin(t2)*sin(t3)*cos(t2)*cos(t3)
+77116512*sin(t2)*sin(t3)*cos(t2)
-203775650*sin(t2)*cos(t2)*cos(t3)**2
-3658560*sin(t2)*cos(t2)*cos(t3)
-1089737475*sin(t2)*cos(t2)
-203775650*sin(t3)*cos(t2)**2*cos(t3)
+3658560*sin(t3)*cos(t2)**2
+101887825*sin(t3)*cos(t3)
-1829280*sin(t3)
+7236400*cos(t2)**2*cos(t3)**2
-77116512*cos(t2)**2*cos(t3)
-4479650*cos(t2)**2
-3618200*cos(t3)**2
-38558256*cos(t3)
+2239825//2500000000$

C(2,2):=0$
C(2,3):=0$
C(2,4):=0$
C(2,5):=(309*(
-370*sin(t3)
+7799*cos(t3))//78125000$

C(2,6):=(309*(
-370*sin(t3)
+7799*cos(t3))//156250000$

C(3,1):=(

```



```

-203775650*sin(t2)*cos(t2)*cos(t3)**2
+1829280*sin(t2)*cos(t2)*cos(t3)
+101887825*sin(t2)*cos(t2)
-203775650*sin(t3)*cos(t2)**2*cos(t3)
+1829280*sin(t3)*cos(t2)**2
+101887825*sin(t3)*cos(t3)
+7236400*cos(t2)**2*cos(t3)**2
-38558256*cos(t2)**2*cos(t3)
-3618200*cos(t2)**2
-3618200*cos(t3)**2
+1809100)/2500000000$

C(3,2):=0$

C(3,3):=0$

C(3,4):=(309*(370*sin(t3)
-7799*cos(t3))/156250000$

C(3,5):=0$

C(3,6):=0$

%***** GRAVITATIONAL AND SPRING FORCE VECTOR *****
$
GRPSP(1,1):=0$

GRPSP(2,1):=(2439040*sin(t2)*sin(t3)*g
-51411008*sin(t2)*cos(t3)*g
+2336580*sin(t2)*g
-51411008*sin(t3)*cos(t2)*g
-2439040*cos(t2)*cos(t3)*g
-815265665*cos(t2)*g
-1000000000*cos(t2)*s111*as231*k12)/1000000000$

GRPSP(3,1):=(38110*sin(t2)*sin(t3)*g
-803297*sin(t2)*cos(t3)*g
-803297*sin(t3)*cos(t2)*g
-4687500*sin(t3)*as342*k23
-38110*cos(t2)*cos(t3)*g)/156250000$

Sends$

```

□

S11:=0\$  
M1:=2573/500\$  
XX1:=1457787/20000000\$  
XY1:=1585513/10000000\$  
XZ1:=193407/10000000\$  
YY1:=4030613/10000000\$  
YZ1:=(  
-17753)/12500000\$  
ZZ1:=6983909/10000000\$  
MX1:=(  
-27662323)/125000000\$  
MY1:=(  
-117748199)/500000000\$  
MZ1:=(  
-19475037)/250000000\$  
AL12:=(  
-pi)/2\$  
A12:=0\$  
S22:=163/2000\$  
M2:=4327/1000\$  
XX2:=2157357/50000000\$  
XY2:=17229/10000000\$  
XZ2:=(  
-170187)/10000000\$  
YY2:=141647/1000000\$  
YZ2:=(  
-757)/10000000\$  
ZZ2:=10260979/10000000\$  
MX2:=(  
-34706867)/200000000\$  
MY2:=116829/50000000\$  
MZ2:=13184369/50000000\$  
AL23:=0\$  
A23:=3/10\$

```

M3:=412/125$
XX3:=4666389/10000000$
XY3:=(
-18091)/25000000$
XZ3:=(
-7523)/10000000$
YY3:=147719/25000000$
YZ3:=(
-22259)/10000000$
ZZ3:=458097/10000000$
MX3:=3811/1562500$
MY3:=(
-803297)/15625000$
MZ3:=788259/31250000$
EQUATION(1,1):=(11578240000*sin(t2)*sin(t3)*cos(t2)*cos(t3)*
td1*td2
+11578240000*sin(t2)*sin(t3)*cos(t2)*cos(t3)*
td1*td3
-163020520000*sin(t2)*sin(t3)*cos(t2)*cos(t3)*
td1
-123386419200*sin(t2)*sin(t3)*cos(t2)*td1*td2
-61693209600*sin(t2)*sin(t3)*cos(t2)*td1*td3
-2926848000*sin(t2)*sin(t3)*cos(t2)*td1
-548023520*sin(t2)*sin(t3)*td2**2
-1096047040*sin(t2)*sin(t3)*td2*td3
-548023520*sin(t2)*sin(t3)*td3**2
+7934814304*sin(t2)*sin(t3)*td2
+7934814304*sin(t2)*sin(t3)*td3
+326041040000*sin(t2)*cos(t2)*cos(t3)**2*td1*
td2
-326041040000*sin(t2)*cos(t2)*cos(t3)**2*td1*
td3
-5789120000*sin(t2)*cos(t2)*cos(t3)**2*tdd1
-5853696000*sin(t2)*cos(t2)*cos(t3)*td1*td2
-2926848000*sin(t2)*cos(t2)*cos(t3)*td1*td3
+61693209600*sin(t2)*cos(t2)*cos(t3)*tdd1
-1743579960000*sin(t2)*cos(t2)*td1*td2
-163020520000*sin(t2)*cos(t2)*td1*td3
-3583720000*sin(t2)*cos(t2)*tdd1
+7934814304*sin(t2)*cos(t3)*td2**2
+15869628608*sin(t2)*cos(t3)*td2*td3
+7934814304*sin(t2)*cos(t3)*td3**2
+548023520*sin(t2)*cos(t3)*tdd2
+548023520*sin(t2)*cos(t3)*tdd3
-532262540*sin(t2)*td2**2
+182060276195*sin(t2)*tdd2
-326041040000*sin(t3)*cos(t2)**2*cos(t3)*td1*
td2
-326041040000*sin(t3)*cos(t2)**2*cos(t3)*td1*
td3

```



```

-3309740000*cos(t2)^2*cos(t3)^2
-7934814304*cos(t2)*cos(t3)*tdd1
-47853964800*cos(t2)*cos(t3)
+532262540*cos(t2)*tdd1
-15995512347300*cos(t2)
-2894560000*cos(t3)**2*tdd1**2
+30846604800*cos(t3)*tdd1**2
+61693209600*cos(t3)*tdd2*tdd3
+30846604800*cos(t3)*tdd3**2
+2926848000*cos(t3)*tdd2
+1463424000*cos(t3)*tdd3
+1791860000*tdd1**2
+890118980000*tdd2
+91619400000*tdd3)/20000000000000S

```

```

EQUATION(3,1):=(
-180910000*sin(t2)*sin(t3)*cos(t2)*cos(t3)*tdd1
**2
+963956400*sin(t2)*sin(t3)*cos(t2)*tdd1**2
+247962947*sin(t2)*sin(t3)*tdd1
+1495436400*sin(t2)*sin(t3)
-509491250*sin(t2)*cos(t2)*cos(t3)**2*tdd1**2
+45732000*sin(t2)*cos(t2)*cos(t3)*tdd1**2
+2547195625*sin(t2)*cos(t2)*tdd1**2
+17125735*sin(t2)*cos(t3)*tdd1
-31521374280*sin(t2)*cos(t3)
-5094391250*sin(t3)*cos(t2)**2*cos(t3)*tdd1**2
+45732000*sin(t3)*cos(t2)**2*tdd1**2
+17125735*sin(t3)*cos(t2)*tdd1
-31521374280*sin(t3)*cos(t2)
+2547195625*sin(t3)*cos(t3)*tdd1**2
+45732000*sin(t3)*tdd2**2
+963956400*sin(t3)*tdd2
+180910000*cos(t2)**2*cos(t3)**2*tdd1**2
-963956400*cos(t2)**2*cos(t3)*tdd1**2
-90455000*cos(t2)**2*tdd1**2
-247962947*cos(t2)*cos(t3)*tdd1
-1495436400*cos(t2)*cos(t3)
-90455000*cos(t3)**2*tdd1**2
-963956400*cos(t3)*tdd2
+45732000*cos(t3)*tdd2
-45227500*tdd1**2
+2863106250*tdd2
-2863106250*tdd3)/625000000000S

```

SENDS

□



## BENZETİM PROGRAMI KULLANIM KILAVUZU

IBM uyumlu PC için hazırlanmış olan benzetim programı tek bir koddan oluşmaktadır. SIMLIN.EXE isimli bu kodun çalıştırılabilmesi için yardımcı matematik işlemci gerekmektedir olup herhangi bir girdi kütüğüne ise gerek yoktur. Kod çalıştırıldığında sırasıyla ikinci ve üçüncü ekranların kütüphanelerini; oransal servo kazançlarını ve hız servo kazançlarını sırmakta ve bu bilgiler ekrandan virgül ile ayrılarak girilmektedir. Verilerin girilmesini takiben ise açısız konum, hız, ivmelerin mi yoksa açısız hata ve türevlerinin mi istenildiği kullanıma sunulmaktadır. Programı çalışma sırasında entegrasyonun sonuçlarını 0.1 saniye aralıklarla vermekte ve 5 saniyelik entegrasyon işlemi tamamlandığında da sonuçlar grafiksel olarak ekrana gelmektedir. Ayrıca, sonuçlar OUT.DYN isimli bir kütüğe yazılmakta ancak grafikler sadece ekrana verilmektedir. Açısız hataların bulunması için "E" seçeneği girildiğinde ayrıca performans indeksi ve lineerlik indeksi programın sonunda verilmekte ve PERILI isimli bir kütüğe yazılmaktadır. Örnek bir veri girişi aşağıda verilmiştir.

```
C:\>simlin
M2, M3 ?           ; 2. ve 3. uzuvların kütleleri
3, 3
KP1, KP2, KP3 ?   ; 1, 2 ve 3 nolu eksenler oransal servo kazançları
1, 1, 1
KV1, KV2, KV3 ?   ; 1, 2 ve 3 nolu eksenler hız servo kazançları
1, 1, 1
JOINT VARIABLES OR ERRORS (E/D) ? ; Eklene açısız konum, hız ve ivmeleri için "J", açısız
                                     hata ve türevleri için "E" girilecektir.
J
```

Benzetim programının yanında verilen LPLOTT.EXE isimli kod ise lineerlik indeksinin performans indeksine göre değişimini grafiksel olarak elde etmek için hazırlanmıştır. SIMLIN programı "E" seçeneği ile her çalıştırıldığında kendisi tarafından otomatik olarak açılan PERILI isimli bir kütüğe hesapladığı lineerlik ve performans indekslerini yazmaktadır. Eğer PERILI kütüğü mevcut ise bu değerler kütüğün sonuna eklenmektedir. Böylece değişik parametreler için çalıştırılan SIMLIN programının sonuçları istendiği zaman LPLOTT ile grafiksel olarak görülebilmektedir. LPLOTT'un çalıştırılabilmesi için mutlaka PERILI isimli kütüğe gereksinim vardır.

Söz konusu SIMLIN.EXE ve LPLOTT.EXE dosyaları 3 no'lu disketteki BENZETİM kütüğünde bulunmaktadır.

oijenin Başlangıç ve Bitiş Tarihleri: 13.7.1992 , 13.7.1994

rojenin Adı: Robot Dinamiği Lineerizasyon ve Basitleştirme Yöntemlerinin  
Geliştirilmesi ve İmal Edilmiş Bulunan bir Robota Uygulanarak  
İrdelemesi

oje Yürütücüsü ve Yardımcı Araştırmacılar: Doç. Dr. Resit SOYLU (Yürütücü),  
Doç. Dr. Tuna BALKAN, Y.Müh. Ali SARRAFI

ojenin Yürütüldüğü Kuruluş ve Adresi: ODTÜ Makina Mühendisliği Bölümü, ANKARA

destekleyen Kuruluş(ların) Adı ve Adresi: -

(Abstract):

Bu projede bir robot kolun hareket denklemlerini sembolik olarak veren bir ram geliştirilmiştir. Bu denklemler Lagrange eşitliği kullanılarak türetil- e olup, gerekli bilgisayar zamanı robotun kinematikğinde ilk olarak Lipkin ve y tarafından kullanılan bir notasyonu geliştirerek kullanmak suretiyle büyük de azaltılmıştır. Ayrıca, bir manipülatörün lineerliğini (veya nonlineerli- ) ölçebilmek amacıyla Lineerlik Endeksi (LE) isimli yeni bir ölçüt tanımlan- ır. Bu endeks robotun lineerlik derecesinin sayısal bir ölçütüdür. Lineerlik ksi kavramını kullanarak tamamıyla (veya olabildiğince) lineer robotlar rlamak mümkündür.

Proje kapsamında ayrıca ODTÜ-ASELSAN robotunu simüle edebilmek için bir etim programı da geliştirilmiştir. Bu program kullanılarak Lineerlik Endeksi robotun lineer bir kontrol algoritmasının denetimi altındaki performansı ndaki ilişki incelenmiştir. ODTÜ-ASELSAN robotunun dinamik parametreleri ysel olarak elde edilmeye çalışılmış ve son olarak da söz konusu robotun ci ve üçüncü uzuvlarının dinamik parametrelerini değiştirebilmek için bir at tasarlanarak robota monte edilmiştir.

ar Kelimeler: Robot Dinamiği, Robot Tasarımı, Lineerizasyon, Benzetim

je ile ilgili Yayın/Tebliğlerle ilgili Bilgiler International Journal of Robotics Research gisine yollanan bir makale (Değerlendiriliyor) ve Mekatronik Tasarım ve İmalat ışma Toplantısında (Kasım 1993, Ankara) sunulan bir tebliğ.

lim Dalı:

çenelik B. Dalı Kodu: 625.01.02

ISIC Kodu:

manlık Alanı Kodu:

ğınım (\*):  Sınırlı

Sınırsız

porun Gizlilik Durumu :

Gizli

Gizli Değil

izin Sonuç Raporunun iletirilmemesini istediğimi kurum ve kuruluşları ayrıca belirtiniz